Redução de Dimensionalidade:

PCA, t-SNE e UMAP

Bem-vindo ao curso completo sobre técnicas de redução de dimensionalidade! Este programa foi cuidadosamente desenvolvido com base em extensas pesquisas das principais universidades brasileiras: USP, UFMG, UNICAMP, UFRJ, UFABC e UFPE.

Vamos explorar em profundidade as técnicas mais poderosas para visualização de dados multidimensionais: PCA (Principal Component Analysis), t-SNE e UMAP. Essas ferramentas são essenciais para qualquer profissional ou estudante que deseja transformar dados complexos em representações visuais compreensíveis.

Prepare-se para uma jornada transformadora que combinará rigor matemático com aplicações práticas do mundo real!

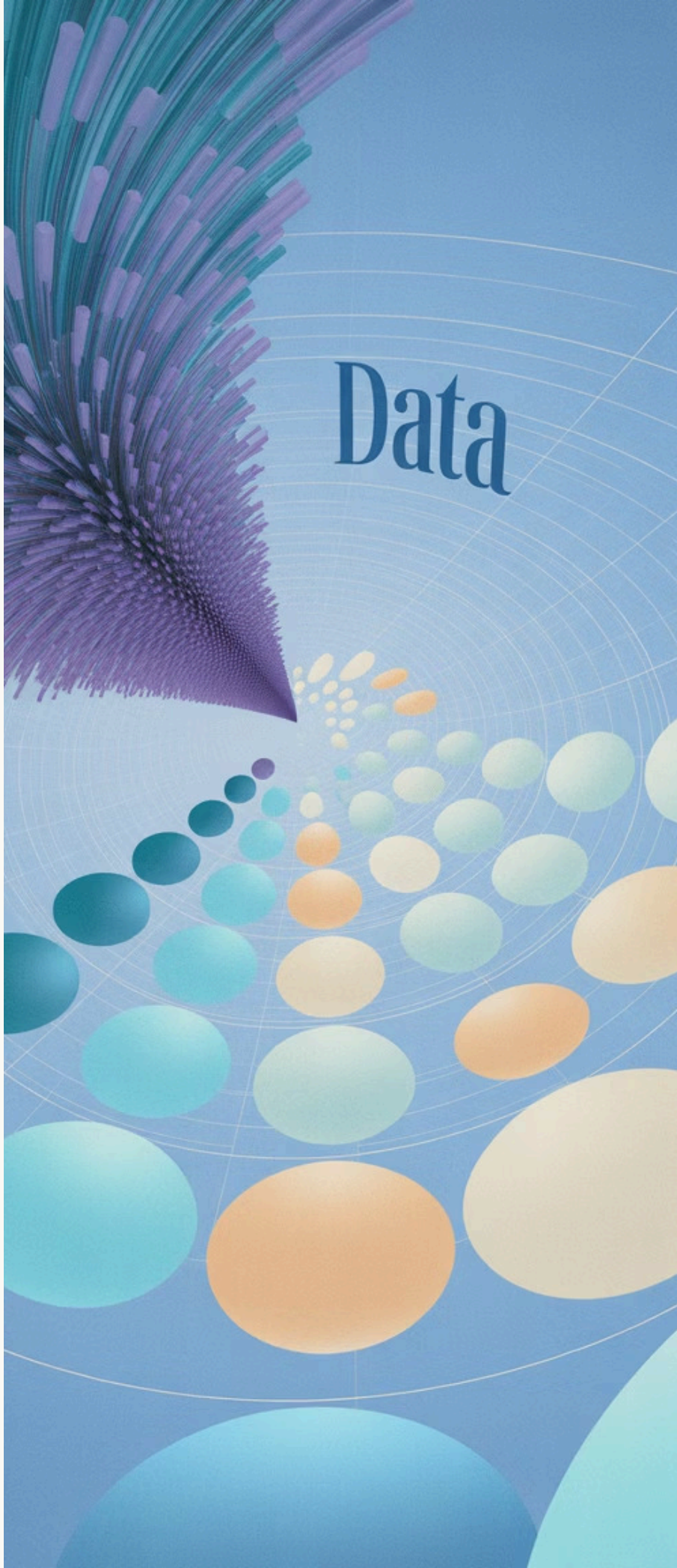

O Desafio dos Dados Multidimensionais

Dados Multidimensionais

Conjuntos de dados modernos frequentemente contêm dezenas ou centenas de dimensões, tornando impossível sua visualização direta pelo cérebro humano.

Maldição da Dimensionalidade

À medida que o número de dimensões aumenta, o espaço fica exponencialmente mais esparso, causando problemas para algoritmos de análise e visualização.

Necessidade de Redução

Técnicas que projetam dados de alta dimensão para 2D ou 3D são essenciais para revelar padrões ocultos e permitir análises visuais eficazes.

Aplicações Crescentes

Da bioinformática à análise de redes sociais, a redução dimensional tornou-se ferramenta indispensável em ciência de dados moderna.

A análise de dados modernos enfrenta um paradoxo: quanto mais informações coletamos, mais difícil se torna extrair significado. Este curso oferecerá as ferramentas necessárias para superar esse desafio.

Objetivos de Aprendizagem

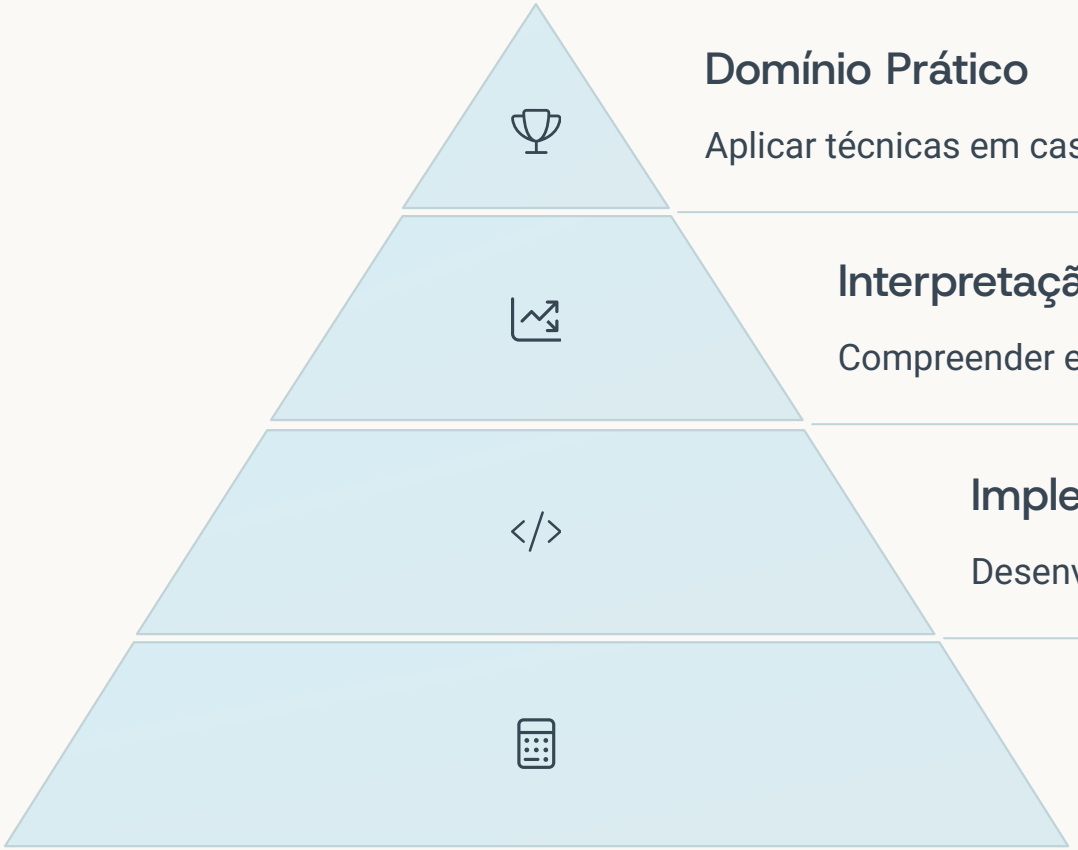

Domínio Prático

Aplicar técnicas em casos reais brasileiros

Interpretação Avançada

Compreender e explicar visualizações geradas

Implementação Eficiente

Desenvolver algoritmos otimizados

Base Matemática Sólida

Compreender os fundamentos teóricos

Ao final deste curso, você não apenas entenderá a teoria por trás das técnicas de redução de dimensionalidade, mas será capaz de implementá-las eficientemente em Python e aplicá-las a problemas do mundo real. Nossa abordagem combina rigor matemático com habilidades práticas de programação.

Vamos transformar você em um especialista capaz de extrair insights valiosos de dados complexos!

Estrutura do Curso

Módulo 1: Fundamentos Matemáticos

10 aulas cobrindo álgebra linear, teoria de probabilidade e otimização necessárias para compreender as técnicas.

Módulo 2: PCA em Detalhes

15 aulas explorando a teoria, implementação e aplicações da Análise de Componentes Principais.

Módulo 3: t-SNE em Detalhes

15 aulas sobre t-Distributed Stochastic Neighbor Embedding, sua matemática e aplicações práticas.

Módulo 4: UMAP em Detalhes

10 aulas sobre Uniform Manifold Approximation and Projection, o estado da arte em redução dimensional.

Módulo 5: Comparações e Aplicações

8 aulas de estudos de caso e comparações detalhadas entre as técnicas em dados reais brasileiros.

A estrutura progressiva do curso permite que você construa conhecimento de forma sólida, começando com os fundamentos e avançando para implementações e aplicações complexas.

Panorama das Técnicas de Redução

PCA

Técnica linear que projeta dados na direção de máxima variância. Preserva relações globais entre pontos distantes, mas falha em capturar estruturas não-lineares complexas.

- Eficiência computacional alta
- Matemática bem estabelecida
- Interpretabilidade direta

t-SNE

Técnica não-linear que preserva vizinhanças locais. Excelente para visualizar clusters e estruturas locais, mas pode distorcer relações globais entre grupos de dados.

- Revela estruturas complexas
- Computacionalmente intensivo
- Sensível a hiperparâmetros

UMAP

Abordagem moderna baseada em teoria topológica que busca equilibrar preservação local e global. Combina vantagens do t-SNE com melhor eficiência computacional.

- Mais rápido que t-SNE
- Preserva estrutura global
- Base matemática robusta

Cada técnica possui suas forças e limitações específicas, tornando-as complementares em um fluxo de trabalho analítico completo.

Fundamentos de Álgebra Linear

Espaços Vetoriais

Conjuntos fechados para adição e multiplicação por escalar. Em redução dimensional, trabalhamos com espaços vetoriais de alta dimensão R^n e buscamos projeções em espaços de menor dimensão R^m ($m < n$).

Transformações Lineares

Funções que preservam operações de adição e multiplicação por escalar. São representadas por matrizes e formam a base do PCA, que busca transformações lineares ótimas para projeção.

Autovalores e Autovetores

Vetores especiais que, quando transformados por uma matriz, resultam no mesmo vetor multiplicado por um escalar (autovalor). São cruciais para PCA na identificação das direções de máxima variância.

Métricas de Distância

Funções que quantificam a dissimilaridade entre pontos. Distância euclidiana é comum, mas outras métricas como Manhattan ou Mahalanobis podem ser mais adequadas para certos dados.

Estes conceitos fundamentais de álgebra linear são essenciais para compreender como os algoritmos de redução dimensional funcionam em seu núcleo matemático.

Fundamentos Estatísticos

Covariância e Correlação

A covariância mede como duas variáveis mudam juntas, formando a base para a matriz de covariância no PCA. Normalizada, torna-se correlação, indicando a força e direção da relação linear entre variáveis.

A matriz de covariância C = XX^T/(n-1) para dados centralizados X é fundamental para identificar as direções de máxima variância.

Decomposição de Valores Singulares

A SVD decompõe uma matriz X em X = UΣV^T, onde Σ contém valores singulares que representam a importância de cada dimensão. Esta decomposição permite implementações eficientes de PCA sem calcular explicitamente a matriz de covariância.

Projeções Ortogonais

Método para projetar vetores em subespaços. No PCA, projetamos dados no subespaço gerado pelos autovetores principais da matriz de covariância, minimizando o erro quadrático de reconstrução.

Otimização Convexa

Técnicas para encontrar o mínimo global de funções convexas. Utilizadas em algoritmos de redução dimensional para minimizar funções de custo que quantificam a qualidade da projeção.

Esses fundamentos estatísticos e de otimização são essenciais para compreender como as técnicas de redução dimensional capturam a estrutura matemática subjacente aos dados.

Teoria Probabilística e Grafos

Teoria de Grafos

Estudo matemático de estruturas compostas por vértices conectados por arestas. Em t-SNE e UMAP, grafos de vizinhança representam a estrutura local dos dados, com pesos baseados em similaridade ou distância.

Distribuições de Probabilidade

Funções que descrevem a probabilidade de diferentes resultados. O t-SNE modela similaridades como probabilidades, usando distribuição gaussiana no espaço original e distribuição t no espaço reduzido.

Divergência KL

Medida da diferença entre duas distribuições de probabilidade. O t-SNE minimiza a divergência KL entre as distribuições de similaridade nos espaços original e reduzido para preservar a estrutura dos dados.

Gradiente Descendente

Algoritmo de otimização que encontra mínimos locais de funções através de passos proporcionais ao gradiente negativo. Técnicas como t-SNE e UMAP usam variantes estocásticas para otimização.

Esses conceitos probabilísticos e baseados em grafos são particularmente importantes para as técnicas não-lineares como t-SNE e UMAP, que modelam relações complexas entre pontos de dados.

A Maldição da Dimensionalidade

Expansão do Espaço

O volume cresce exponencialmente com as dimensões

Distorção de Distâncias

Distâncias se tornam menos discriminativas

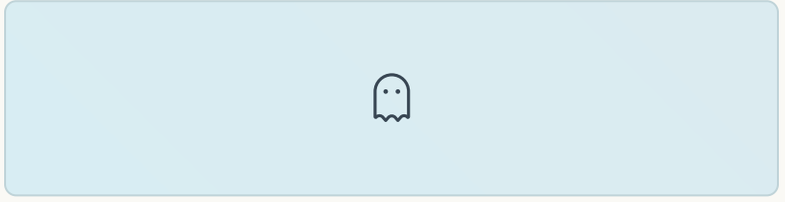

Esparsidade dos Dados

Pontos se tornam isolados e raramente vizinhos

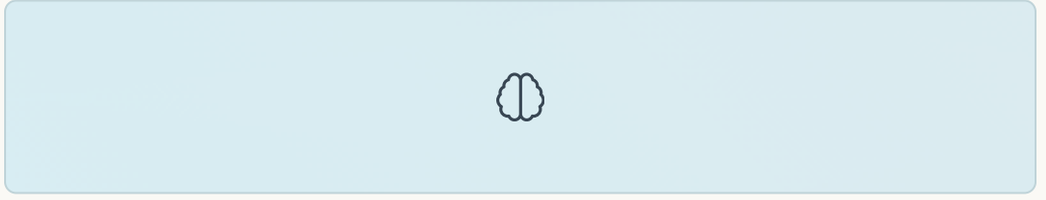

Falha de Intuição

Nossa intuição espacial 3D não se aplica

A maldição da dimensionalidade é um fenômeno contraintuitivo que afeta drasticamente a análise de dados em espaços de alta dimensão. À medida que a dimensionalidade aumenta, o volume do espaço cresce tão rapidamente que os dados disponíveis se tornam esparsos.

Em alta dimensão, pontos tendem a estar todos aproximadamente à mesma distância uns dos outros, tornando algoritmos baseados em distância menos eficazes. Este fenômeno é uma das principais motivações para técnicas de redução dimensional, que buscam preservar informações relevantes em representações mais compactas.

Princípios de Visualização de Dados

Percepção Visual

Nosso sistema visual é altamente adaptado para reconhecer padrões, cores e formas em 2D e 3D, mas falha em dimensões superiores.

Interpretabilidade

A visualização deve permitir extrair insights reais, não apenas criar imagens esteticamente agradáveis.

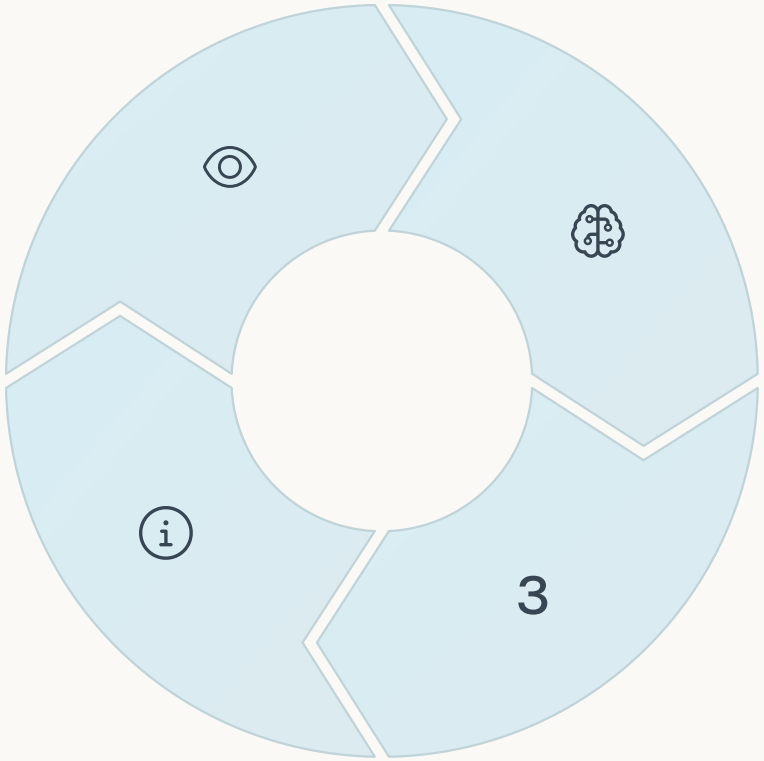

Limites Cognitivos

Conseguimos processar conscientemente apenas 3-4 dimensões simultâneas, mesmo usando cores, formas e tamanhos como dimensões visuais.

Técnicas de Projeção

Redução dimensional para 2D/3D permite aproveitar nossa capacidade inata de detectar agrupamentos e anomalias.

Uma boa visualização de dados multidimensionais equilibra a redução de complexidade com a preservação de informações significativas. As técnicas que estudaremos buscam criar representações que revelem padrões ocultos enquanto minimizam distorções que poderiam levar a interpretações errôneas.

Estudos da UNICAMP e USP demonstraram que visualizações eficazes podem reduzir o tempo de análise em até 70% e aumentar a precisão das conclusões.

Conjuntos de Dados Sintéticos para Testes

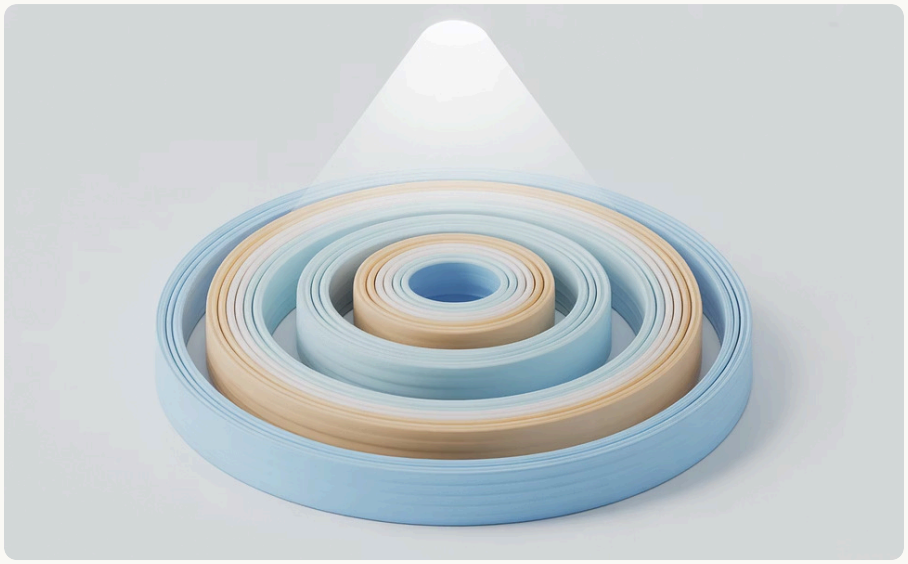

Swiss Roll

Manifold bidimensional enrolado em 3D, criando uma estrutura não-linear que desafia métodos lineares como PCA. Excelente para testar a capacidade de "desenrolar" manifolds.

Blobs

Clusters gaussianos bem separados, onde técnicas lineares como PCA geralmente têm bom desempenho. Ideal para verificar se a redução mantém a separação entre grupos.

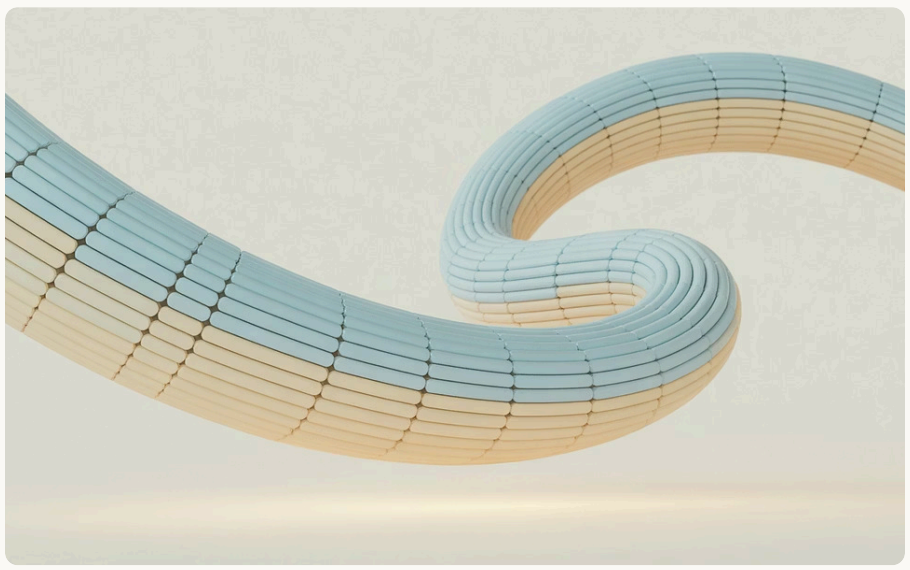

S-Curve

Superfície bidimensional dobrada em formato de S no espaço 3D. Testa a capacidade de preservar relações de vizinhança em manifolds contínuos não-lineares.

Estes conjuntos de dados sintéticos são ferramentas fundamentais para compreender as vantagens e limitações de cada técnica de redução dimensional. Ao conhecer a estrutura real subjacente, podemos avaliar objetivamente a qualidade das projeções obtidas.

Utilizaremos estes datasets como benchmarks ao longo do curso para demonstrar os pontos fortes e fracos de cada método.

Análise de Componentes Principais (PCA)

1901

Karl Pearson desenvolve os fundamentos do que viria a ser o PCA, buscando linhas e planos de melhor ajuste para pontos no espaço.

1933

Harold Hotelling formaliza o método e introduz o termo "componentes principais" para análise de fatores em psicometria.

1980-2000

Pesquisadores da USP e UNICAMP desenvolvem extensões robustas do PCA para lidar com outliers em dados brasileiros.

Atualidade

O PCA continua sendo a técnica de redução dimensional mais utilizada, com aplicações em todos os campos da ciência de dados.

O princípio fundamental do PCA é maximizar a variância dos dados projetados, encontrando direções (componentes principais) que capturam a maior parte da variabilidade. Isso permite representar os dados de forma mais compacta com perda mínima de informação.

Pesquisadores brasileiros têm contribuído significativamente para o desenvolvimento de variantes do PCA, especialmente adaptadas para lidar com características específicas de dados locais.

PCA: Fundamentos Matemáticos I

Matriz de Covariância

Para um conjunto de dados X com n amostras e d características, centralizados (média zero), a matriz de covariância é calculada como:

$C = (1/(n-1)) X^T X$

Esta matriz simétrica d×d contém covariâncias entre pares de características e captura a estrutura de variação conjunta dos dados.

Autovetores e Autovalores

Para cada autovetor v da matriz C:

$Cv = \lambda v$

Onde λ é o autovalor correspondente. Os autovetores formam uma base ortogonal que indica as direções de máxima variância, enquanto os autovalores quantificam a variância ao longo dessas direções.

Interpretação Geométrica

Geometricamente, o PCA encontra um novo sistema de coordenadas alinhado com a estrutura natural dos dados. O primeiro eixo aponta na direção de maior variação, o segundo na direção de maior variação restante (ortogonal ao primeiro), e assim por diante.

A elegância matemática do PCA reside na sua capacidade de encontrar uma representação ótima dos dados em termos de minimização do erro quadrático de reconstrução, que é matematicamente equivalente à maximização da variância projetada.

PCA: Fundamentos Matemáticos II

Projeção em Subespaços

Se V_k é uma matriz cujas colunas são os k primeiros autovetores da matriz de covariância, a projeção de um ponto x no subespaço principal é dada por:

$z = V_k^T x$

Esta transformação reduz a dimensão de x de d para k, preservando as direções de maior variância.

Reconstrução e Erro

Um ponto projetado pode ser reconstruído aproximadamente como:

$\hat{x} = V_k z = V_k V_k^T x$

O erro de reconstrução quadrático médio é minimizado pelo PCA e é igual à soma dos autovalores descartados.

Whitening (Branqueamento)

Uma transformação que normaliza a variância em todas as direções:

$x_{white} = \Lambda^{(-1/2)} V^T x$

Onde Λ é a matriz diagonal de autovalores. Esta transformação é útil como pré-processamento para outros algoritmos.

SVD como Alternativa

A decomposição de valores singulares da matriz de dados $X = U\Sigma V^T$ permite calcular o PCA diretamente, pois V contém os autovetores da matriz de covariância e Σ^2 contém os autovalores.

Estas formulações matemáticas formam a base para implementações eficientes do PCA e são essenciais para compreender suas propriedades e limitações.

PCA: Algoritmo Passo a Passo

Centralização dos Dados

Subtraia a média de cada característica para obter um conjunto de dados com média zero. Este passo é crucial para que a matriz de covariância capture corretamente a variação conjunta.

$X_{cent} = X - \mu$, onde μ é o vetor de médias das colunas

Cálculo da Matriz de Covariância

Compute a matriz que representa a covariância entre todas as pares de características.

$C = (1/(n-1)) X_{cent}^T X_{cent}$

Decomposição Espectral

Calcule os autovetores e autovalores da matriz de covariância, ordenando-os em ordem decrescente de autovalores.

$C = V \Lambda V^T$, onde Λ é diagonal contendo autovalores $\lambda_1 \geq \lambda_2 \geq ... \geq \lambda_d$

4 Projeção dos Dados

Selecione os k primeiros autovetores e projete os dados no subespaço gerado por eles.

$Z = X_{cent} V_k$, onde V_k contém apenas k colunas

Este algoritmo transforma dados de alta dimensão em uma representação de menor dimensão que preserva a máxima variância possível. A implementação pode ser otimizada usando SVD diretamente nos dados centralizados, especialmente para conjuntos grandes.

PCA: Implementação em Python

Implementação do Zero

Implementar o PCA manualmente oferece insights profundos sobre seu funcionamento:

```
def pca_from_scratch(X, k):
    # Centralizar dados
    X_cent = X - X.mean(axis=0)

    # Calcular matriz de covariância
    cov = np.cov(X_cent, rowvar=False)

    # Obter autovetores/autovalores
    eigvals, eigvecs = np.linalg.eigh(cov)

    # Ordenar em ordem decrescente
    idx = np.argsort(eigvals)[::-1]
    eigvecs = eigvecs[:, idx]

    # Selecionar k componentes
    return X_cent @ eigvecs[:, :k]
```

Scikit-learn

Para aplicações práticas, a implementação otimizada do scikit-learn é mais eficiente:

```
from sklearn.decomposition import PCA

# Criar e ajustar modelo
pca = PCA(n_components=2)
X_reduced = pca.fit_transform(X)

# Acessar componentes
components = pca.components_

# Variância explicada
explained_var = pca.explained_variance_ratio_
```

Esta implementação usa algoritmos otimizados como LAPACK e lida automaticamente com centralização e escala.

Pesquisadores da UFABC desenvolveram implementações otimizadas de PCA para conjuntos de dados particularmente grandes, utilizando técnicas de processamento paralelo e aproximações para cálculos de autovalores que melhoram significativamente o desempenho.

PCA: Aplicações em Dados Socioeconômicos

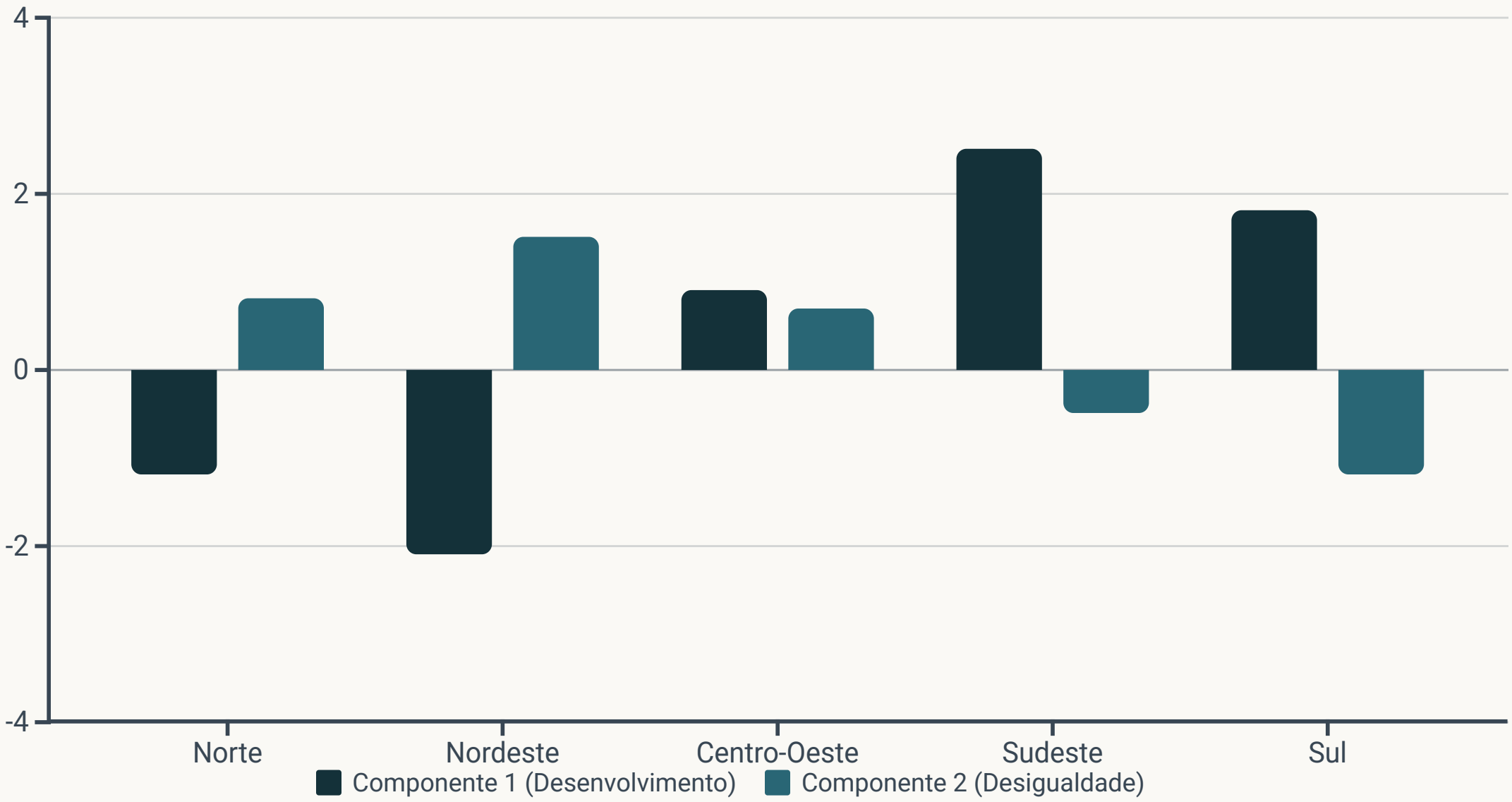

Em um estudo conduzido pela UFMG usando dados do IBGE, o PCA foi aplicado a 27 indicadores socioeconômicos dos estados brasileiros. Surpreendentemente, apenas duas componentes principais capturaram mais de 75% da variância total dos dados.

A primeira componente correlacionou-se fortemente com indicadores de desenvolvimento (educação, saúde, PIB per capita), enquanto a segunda componente refletiu principalmente medidas de desigualdade social. Esta análise permitiu identificar padrões regionais consistentes e mapear a evolução temporal do desenvolvimento socioeconômico brasileiro.

Esta aplicação demonstra como o PCA pode simplificar dados complexos e multidimensionais, revelando tendências subjacentes que não seriam evidentes na análise dos indicadores isoladamente.

PCA: Aplicações em Processamento de Imagens

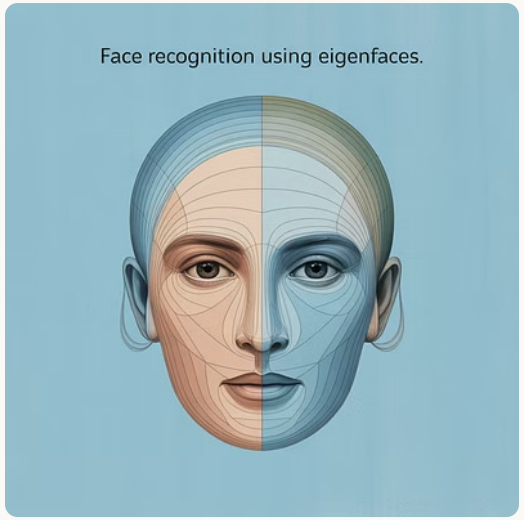

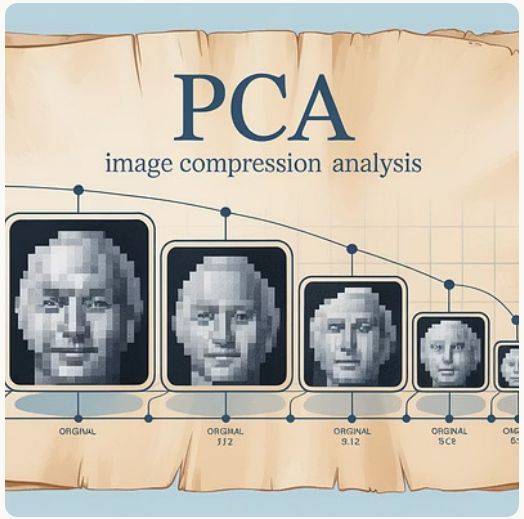

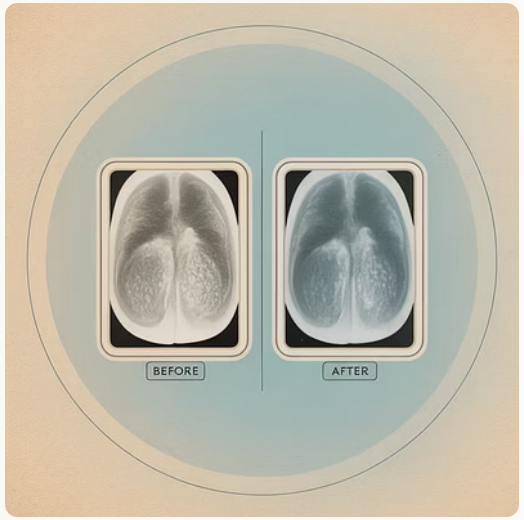

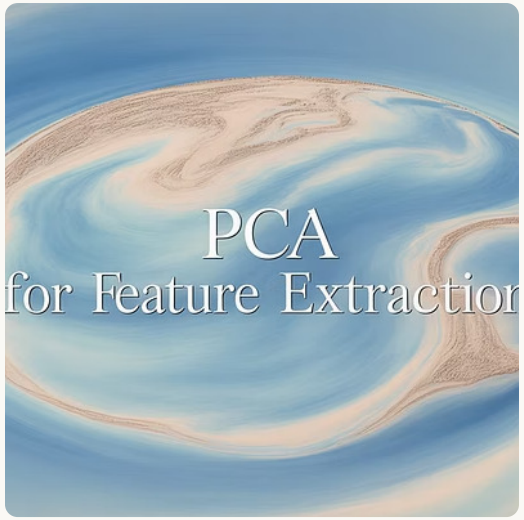

Pesquisadores da UNICAMP desenvolveram aplicações inovadoras de PCA em processamento de imagens, com destaque para reconhecimento facial usando "eigenfaces". Nesta técnica, faces são representadas como combinações lineares de componentes principais derivados de um conjunto de treinamento.

O PCA também se mostra extremamente eficaz para compressão de imagens, onde apenas as componentes mais significativas são mantidas, e para redução de ruído, onde componentes associadas a autovalores pequenos (tipicamente relacionadas a ruído) são descartadas.

Na análise de imagens médicas e de sensoriamento remoto, o PCA permite destacar características específicas e remover artefatos, melhorando significativamente a qualidade diagnóstica e analítica.

PCA: Variações e Extensões

Kernel PCA

Extensão não-linear que utiliza o "truque do kernel" para mapear implicitamente os dados para um espaço de maior dimensão, onde relações não-lineares nos dados originais tornam-se lineares e podem ser capturadas pelo PCA tradicional.

PCA Incremental

Variante que permite atualizar incrementalmente os componentes principais à medida que novos dados chegam, sem necessidade de recalcular tudo do zero. Ideal para streams de dados e conjuntos muito grandes.

PCA Esparso

Introduz regularização para forçar esparsidade nos componentes principais, tornando-os mais interpretáveis e facilitando a seleção de variáveis. Pesquisadores da UFPE desenvolveram algoritmos eficientes para SPCA.

PCA Robusto

Formulações que são menos sensíveis a outliers, usando estimadores robustos para a matriz de covariância ou minimizando funções de custo menos sensíveis a pontos extremos.

Estas variações expandem significativamente o poder e aplicabilidade do PCA, permitindo sua adaptação a diversos tipos de dados e requisitos analíticos específicos. Cada variante oferece vantagens em contextos particulares, mantendo o princípio fundamental de redução dimensional baseada em variância.

PCA: Vantagens e Limitações

Vantagens

- Eficiência computacional: O(min(n²d, nd²)), possibilitando aplicação em grandes conjuntos
- Base teórica sólida e bem compreendida matematicamente
- Não requer hiperparâmetros, eliminando necessidade de ajuste fino
- Componentes são ortogonais, facilitando interpretação e análise estatística
- Técnica não supervisionada que não requer rótulos ou informações adicionais

Limitações

- Natureza linear: falha em capturar relações não-lineares complexas
- Sensibilidade a outliers que podem distorcer significativamente as componentes
- Pressupõe que direções de máxima variância são as mais informativas
- Componentes podem ser difíceis de interpretar em termos do domínio original
- Escalas diferentes entre variáveis podem dominar as primeiras componentes

O PCA continua sendo a técnica de redução dimensional mais utilizada devido à sua combinação de simplicidade, eficiência e base teórica sólida. No entanto, suas limitações, especialmente com dados não-lineares, motivaram o desenvolvimento de técnicas mais avançadas como t-SNE e UMAP.

Pesquisadores da USP demonstraram que em muitos casos reais, pré-processar os dados com PCA antes de aplicar técnicas não-lineares oferece o melhor equilíbrio entre eficiência e qualidade de visualização.

PCA: Casos de Uso Específicos

Genômica (USP)

Análise de expressão gênica onde cada amostra possui milhares de genes. O PCA reduz essa dimensionalidade para visualizar relações entre pacientes ou condições experimentais.

Pesquisadores da USP aplicaram PCA para identificar assinaturas moleculares de doenças tropicais a partir de dados de microarray.

Processamento de Sinais (UFRJ)

Filtragem e compressão de sinais biomédicos como EEG e ECG, preservando características diagnósticas com representações compactas.

A UFRJ demonstrou que o PCA pode melhorar a relação sinal-ruído em sinais de EEG em até 40%.

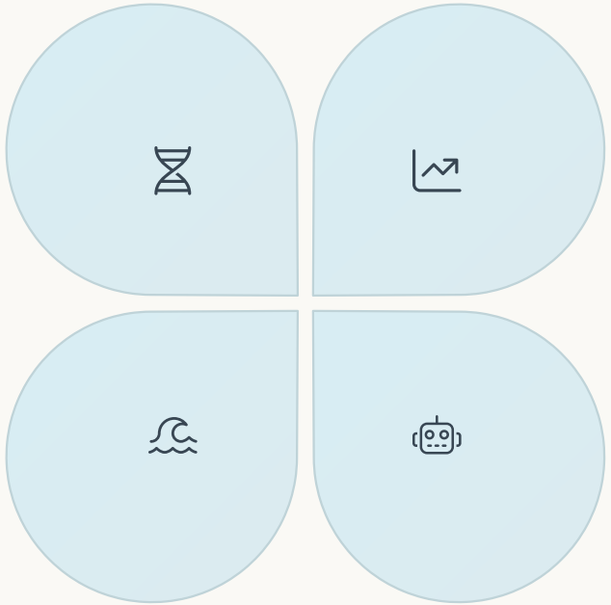

Séries Temporais (UFPE)

Análise de componentes principais funcionais para séries temporais, identificando padrões comuns em dados climáticos e econômicos brasileiros.

A UFPE desenvolveu métodos de previsão combinando PCA com modelos ARIMA, melhorando significativamente a precisão para dados econômicos sazonais.

Pré-processamento para ML

Redução de dimensionalidade antes de algoritmos de aprendizado para melhorar performance e evitar sobreajuste.

Estudos da UNICAMP mostraram que o PCA como pré-processamento pode reduzir o tempo de treinamento em até 80% sem perda significativa de acurácia.

Estes casos ilustram como o PCA, apesar de sua simplicidade conceitual, continua sendo extremamente valioso em aplicações avançadas em diversos campos científicos.

PCA: Exercícios Práticos

Carregamento e Exploração

Utilizaremos dados climáticos históricos do INMET, cobrindo 30 anos de medições em estações meteorológicas brasileiras. Cada estação possui medidas diárias de temperatura, precipitação, umidade, pressão e velocidade do vento.

Primeiro, explore estatísticas descritivas e correlações entre variáveis.

Pré-processamento

Tratamento de valores ausentes usando interpolação temporal e padronização das variáveis (importante para PCA). Alguns dados climáticos possuem sazonalidade que pode ser removida ou modelada explicitamente.

Implementação do PCA

Aplicação do PCA usando scikit-learn e implementação manual para comparação. Análise da variância explicada por cada componente para determinar o número ideal de dimensões a reter.

Interpretação

Análise dos loadings das componentes principais para identificar quais variáveis meteorológicas contribuem mais para cada componente. Visualização das estações projetadas no espaço reduzido para identificar padrões climáticos regionais.

Este exercício prático permitirá aplicar o PCA a dados reais brasileiros, desenvolvendo habilidades de implementação, visualização e interpretação que são fundamentais para qualquer analista de dados.

PCA: Questões Avançadas

Sensibilidade a Escala

O PCA é sensível à escala das variáveis, com variáveis de maior magnitude dominando as primeiras componentes. A padronização (z-score) é geralmente recomendada, mas há debates sobre quando usar a matriz de correlação vs. covariância.

Pesquisadores da UFMG desenvolveram métodos adaptativos de escala para dados socioeconômicos heterogêneos.

Valores Ausentes

Estratégias incluem: remoção de amostras incompletas, imputação (média, mediana, KNN) antes do PCA, ou algoritmos específicos como PPCA (Probabilistic PCA) que modelam incerteza de valores ausentes.

O NIPALS (Nonlinear Iterative Partial Least Squares) é uma alternativa robusta para PCA com dados incompletos.

Outliers e Robustez

Outliers podem distorcer severamente os componentes principais. Técnicas robustas incluem: PCA baseado em estimadores robustos de covariância (MCD, MVE), funções de perda robustas, e métodos baseados em projeções.

A USP desenvolveu variantes do PCA especificamente para lidar com outliers em dados biomédicos.

Dados Categóricos

O PCA tradicional não é apropriado para variáveis categóricas. Alternativas incluem: codificação one-hot seguida de PCA, Análise de Correspondência Múltipla (MCA), ou métodos de quantificação ótima.

Pesquisadores da UNICAMP propuseram extensões do PCA para dados mistos (numéricos e categóricos).

Estes desafios avançados são áreas ativas de pesquisa, com contribuições significativas de instituições brasileiras adaptando técnicas para características específicas de dados nacionais.

PCA: Recursos e Ferramentas

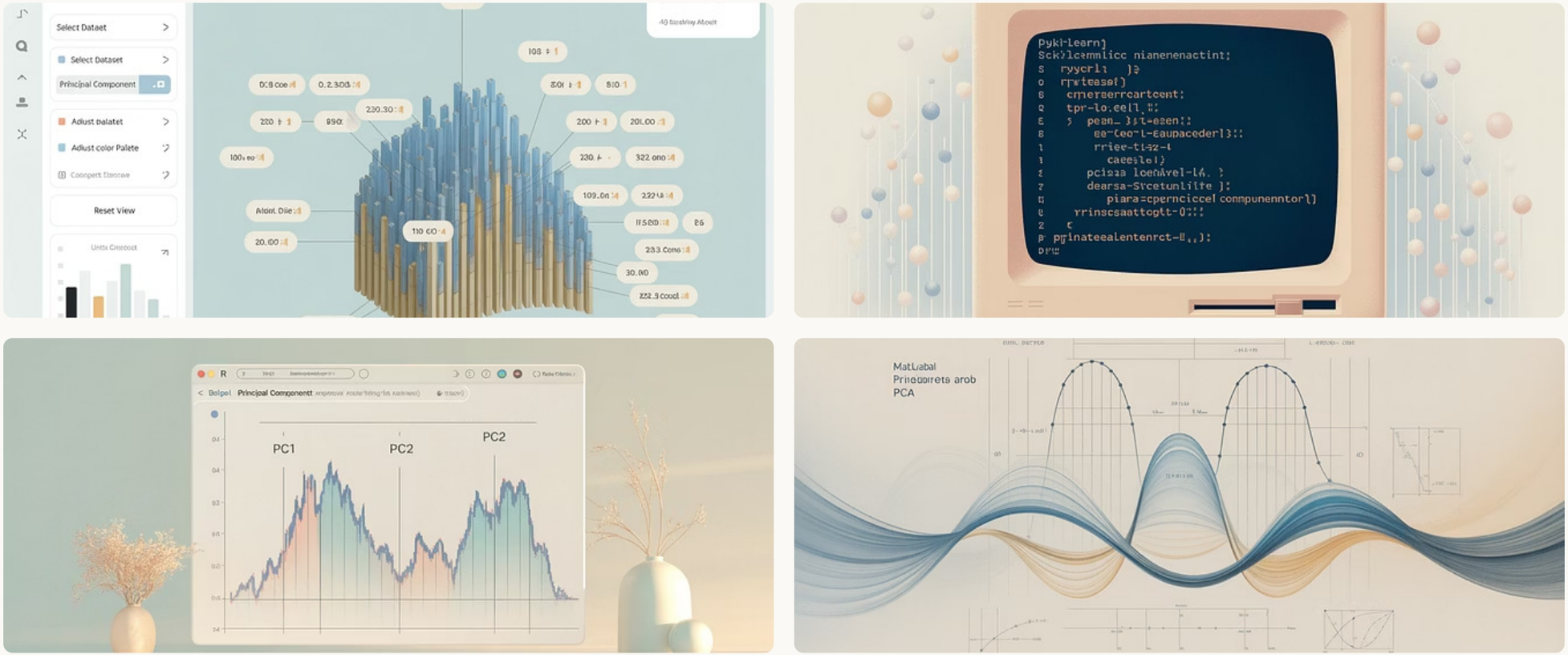

Para implementações eficientes de PCA, as bibliotecas otimizadas como LAPACK e BLAS são fundamentais, oferecendo desempenho superior em cálculos de álgebra linear. Para Python, além do scikit-learn, o Facebook Research desenvolveu o FBPCA, uma implementação randomizada extremamente eficiente para grandes conjuntos de dados.

Ferramentas de visualização interativa como Plotly e D3.js permitem criar dashboards onde usuários podem explorar as projeções, ajustar parâmetros e examinar relações entre dimensões original e reduzida. A UFABC disponibiliza uma ferramenta web gratuita para visualização de PCA com foco em dados educacionais.

Para análises estatísticas mais avançadas, pacotes R como factoextra e FactoMineR oferecem implementações especializadas com extensos recursos de diagnóstico e visualização.

Limitações das Técnicas Lineares

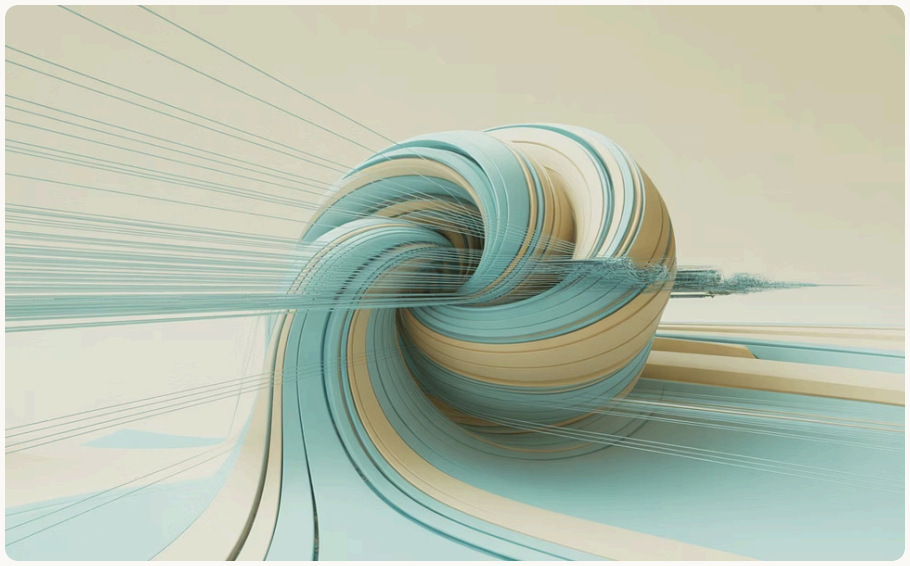

Perda de Estrutura

Quando os dados possuem estrutura não-linear (como o Swiss Roll), métodos lineares como PCA colapsam a estrutura na projeção. Neste exemplo, pontos que estão distantes no manifold original aparecem próximos na projeção.

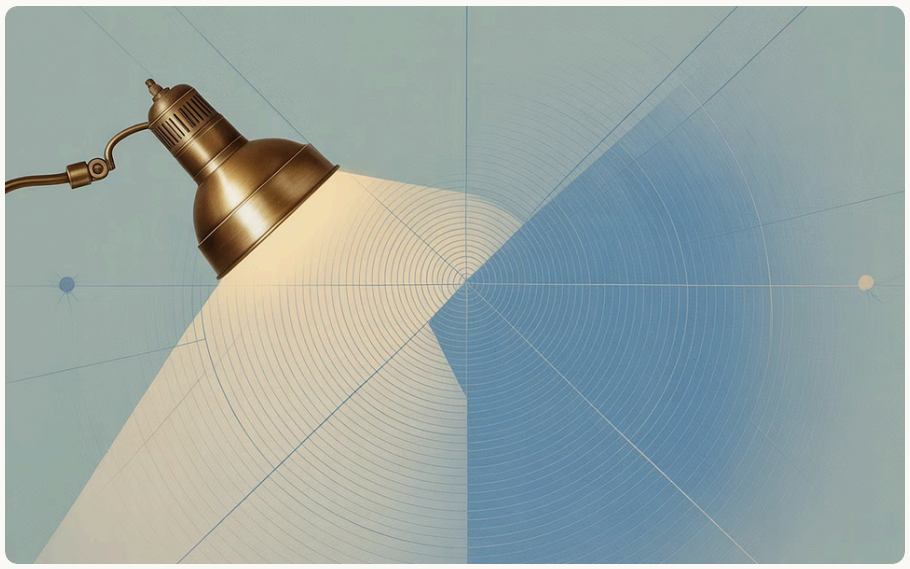

Falha na Separação

Padrões circulares ou concêntricos não podem ser separados linearmente. O PCA projeta estes dados de forma que os círculos se sobrepõem completamente, perdendo a estrutura original.

Perda de Informação Local

Em muitos conjuntos de dados reais, como expressões faciais, as relações locais entre pontos próximos são mais importantes que a estrutura global. O PCA, ao priorizar variância global, pode perder estas relações locais críticas.

Estas limitações fundamentais das técnicas lineares motivaram o desenvolvimento de métodos não-lineares capazes de capturar estruturas mais complexas. A transição do PCA para técnicas como t-SNE e UMAP representa uma evolução significativa na nossa capacidade de visualizar dados multidimensionais.

t-SNE: Introdução

Origem e Desenvolvimento

O t-SNE (t-distributed Stochastic Neighbor Embedding) foi desenvolvido em 2008 por Laurens van der Maaten e Geoffrey Hinton como evolução do SNE original. A principal inovação foi o uso da distribuição t para modelar similaridades no espaço de baixa dimensão.

Contribuições Brasileiras

Pesquisadores da UFMG e USP adaptaram o t-SNE para dados genômicos brasileiros, enquanto a UNICAMP desenvolveu variantes otimizadas para processamento paralelo em GPU.

2

Revolução na Visualização

Rapidamente se tornou o estado da arte em visualização de dados de alta dimensão, revolucionando campos como análise de expressão gênica, processamento de imagens e aprendizado de máquina.

Princípio Fundamental

O t-SNE busca preservar vizinhanças locais: pontos próximos no espaço original devem permanecer próximos na visualização reduzida, com menos ênfase na preservação de distâncias globais.

O t-SNE se diferencia fundamentalmente do PCA por ser uma técnica não-linear capaz de revelar clusters e estruturas que técnicas lineares não conseguem capturar. Sua capacidade de preservar estruturas locais o torna particularmente adequado para visualização exploratória de dados complexos.

t-SNE: Conceitos Fundamentais

Preservação de Similaridades

Diferentemente do PCA que busca preservar variância global, o t-SNE foca em preservar a estrutura local dos dados. Pontos que são similares (próximos) no espaço original devem permanecer similares no espaço reduzido.

Esta abordagem permite que o t-SNE revele clusters naturais e relações locais que podem ser invisíveis em projeções lineares.

Distribuição t de Student

O uso da distribuição t (com um grau de liberdade) no espaço de baixa dimensão é uma inovação crucial do t-SNE. Esta distribuição tem "caudas pesadas", o que ajuda a aliviar o "problema de aglomeração" onde pontos moderadamente distantes no espaço original são forçados a ficar muito próximos no espaço reduzido.

Divergência KL

O t-SNE minimiza a divergência de Kullback-Leibler entre as distribuições de probabilidade que representam similaridades nos espaços original e reduzido. Esta métrica quantifica o quanto uma distribuição difere da outra.

A assimetria da divergência KL faz com que o t-SNE penalize mais a representação de pontos distantes como próximos do que o contrário.

Estes conceitos fundamentais explicam por que o t-SNE é tão eficaz em revelar estruturas locais, clusters e separações em dados de alta dimensão. A modelagem probabilística das similaridades oferece uma abordagem mais flexível e poderosa que transformações lineares.

t-SNE: Modelo Probabilístico I

Similaridades no Espaço Original

Para cada ponto x_i, o t-SNE define uma distribuição de probabilidade P_i sobre todos os outros pontos x_j, representando a probabilidade de x_i escolher x_j como seu vizinho.

Esta probabilidade é modelada usando uma distribuição gaussiana centrada em x_i, onde a probabilidade é mais alta para pontos próximos:

$$p_{j|i} \propto \exp(-||x_i - x_j||^2/2\sigma_i^2)$$

Simetria e Normalização

Para garantir simetria, o t-SNE define a similaridade entre pontos como:

$$p_{ij} = (p_{j|i} + p_{i|j})/(2n)$$

Onde n é o número de pontos. Esta simetria evita distorções na otimização da incorporação.

Perplexidade

A variância σ_i^2 da gaussiana é ajustada automaticamente para cada ponto para atingir uma "perplexidade" alvo definida pelo usuário.

A perplexidade pode ser interpretada como uma estimativa suavizada do número de vizinhos efetivos e tipicamente varia entre 5 e 50.

4

Função de Custo

O objetivo é minimizar a divergência KL entre as distribuições P no espaço original e Q no espaço reduzido:

$$C = KL(P||Q) = \Sigma_i \Sigma_j p_{ij} \log(p_{ij}/q_{ij})$$

Este modelo probabilístico para similaridades no espaço original é a base do t-SNE, permitindo uma representação flexível e adaptativa da estrutura local dos dados.

t-SNE: Modelo Probabilístico II

Distribuição t no Espaço Reduzido

Para modelar similaridades no espaço de baixa dimensão, o t-SNE usa uma distribuição t com um grau de liberdade (distribuição de Cauchy):

$$q_{ij} \propto (1 + ||y_i - y_j||^2)^{-1}$$

Esta distribuição tem caudas mais pesadas que a gaussiana, permitindo que distâncias moderadas no espaço original sejam representadas por distâncias maiores no espaço reduzido.

Vantagens da Cauda Pesada

A cauda pesada da distribuição t resolve o "problema de aglomeração" do SNE original, onde era difícil separar clusters distintos no espaço reduzido.

Isso permite uma visualização mais clara da estrutura de clusters e evita que pontos dissimilares sejam representados como próximos.

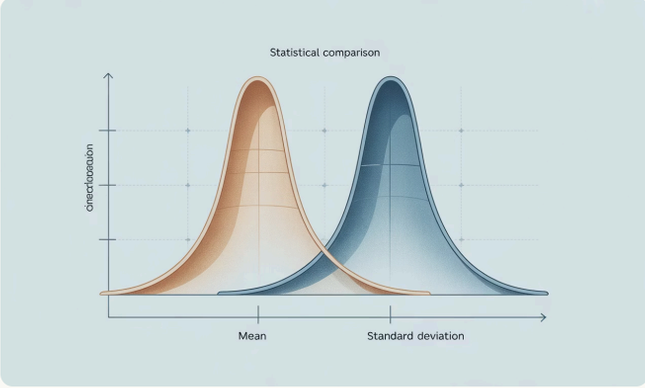

Forças Atrativas e Repulsivas

A otimização do t-SNE pode ser interpretada como um equilíbrio entre:

- Forças atrativas entre pontos similares no espaço original
- Forças repulsivas entre todos os pontos no espaço reduzido

Este equilíbrio cria visualizações onde clusters naturais se separam claramente.

A escolha da distribuição t para o espaço reduzido é uma das inovações mais importantes do t-SNE, permitindo uma visualização muito mais eficaz da estrutura dos dados de alta dimensão em comparação com técnicas anteriores.

t-SNE: Algoritmo Passo a Passo

Cálculo das Similaridades Originais

Para cada ponto x_i, ajuste a variância σ_i^2 para atingir a perplexidade desejada usando busca binária. Calcule as probabilidades condicionais $p_{j|i}$ e então as similaridades simétricas p_{ij}.

Este passo captura a estrutura local dos dados originais e é computacionalmente intensivo, com complexidade $O(n^2)$.

Inicialização

Inicialize pontos y_i no espaço de baixa dimensão, geralmente usando uma distribuição gaussiana de pequena variância ou os resultados de PCA.

A inicialização com PCA pode acelerar a convergência e às vezes produzir resultados mais estáveis.

Otimização

Minimize a divergência KL entre P e Q usando gradiente descendente com termo de momentum:

$$y_i^{(t+1)} = y_i^{(t)} + \eta \frac{\partial C}{\partial y_i} + \alpha(y_i^{(t)} - y_i^{(t-1)})$$

onde η é a taxa de aprendizado e α é o parâmetro de momentum.

Aceleração

Para conjuntos grandes, use aproximações como Barnes-Hut para calcular repulsões entre pontos distantes, reduzindo a complexidade para $O(n \log n)$.

Alternativas como FIt-SNE usam interpolação em grade e transformadas rápidas para aceleração adicional.

Este processo iterativo gradualmente transforma uma configuração inicial aleatória (ou baseada em PCA) em uma visualização que preserva a estrutura local dos dados originais de alta dimensão.

t-SNE: Implementação em Python

Scikit-learn Básico

```
from sklearn.manifold import TSNE
import numpy as np
import matplotlib.pyplot as plt

# Carregue seus dados de alta dimensão
X = np.load('dados_alta_dim.npy')

# Configure e execute t-SNE
tsne = TSNE(
    n_components=2,      # dimensões da saída
    perplexity=30,       # equilíbrio local/global
    learning_rate=200,   # taxa de aprendizado
    n_iter=1000,         # número de iterações
    random_state=42      # reprodutibilidade
)
X_embedded = tsne.fit_transform(X)

# Visualize os resultados
plt.scatter(X_embedded[:,0], X_embedded[:,1])
plt.show()
```

Implementações Otimizadas

Para conjuntos de dados maiores, considere estas alternativas otimizadas:

- MulticoreTSNE: implementação paralela para múltiplos CPUs
- CUDA t-SNE: implementação em GPU para aceleração significativa
- FIt-SNE: Fast Fourier Transform-accelerated Interpolation-based t-SNE
- openTSNE: implementação moderna com suporte para incorporação de novos pontos

Pesquisadores da UNICAMP desenvolveram otimizações específicas para GPUs brasileiras de menor custo, permitindo análises avançadas com hardware mais acessível.

A implementação do t-SNE em Python é simples com scikit-learn, mas conjuntos grandes podem exigir bibliotecas especializadas. Para dados com milhões de pontos, a UFABC recomenda uma abordagem hierárquica: aplicar t-SNE a uma amostra, treinar um modelo paramétrico, e então projetar o conjunto completo.

t-SNE: Hiperparâmetros Críticos

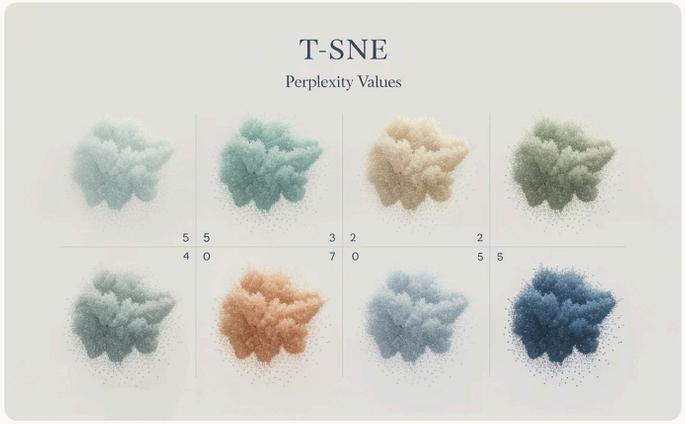

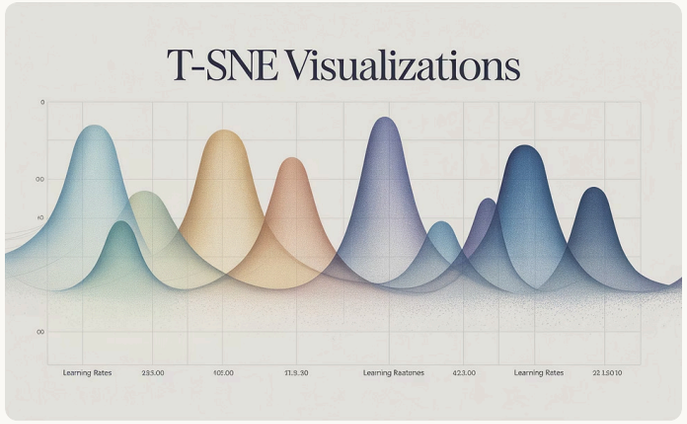

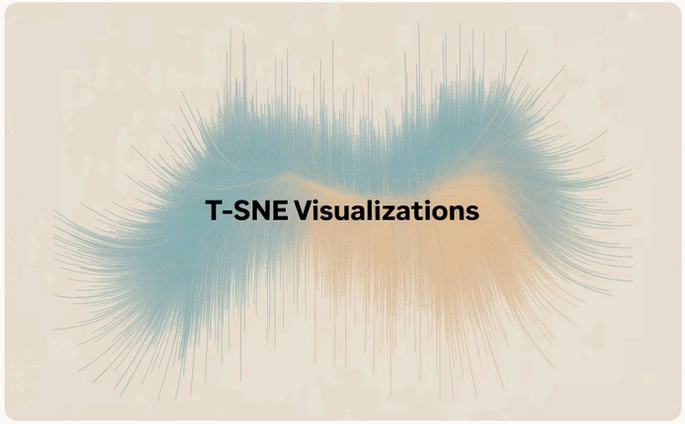

Perplexidade

Controla o equilíbrio entre preservar estrutura local vs. global. Valores típicos: 5-50, mas conjuntos maiores podem se beneficiar de valores mais altos (30-100).

Valores baixos (5-10) enfatizam clusters muito locais; valores altos (30-50) capturam mais estrutura global. Recomenda-se testar vários valores para seu conjunto específico.

Taxa de Aprendizado

Controla o tamanho dos passos de otimização. O valor "ideal" depende do tamanho dos dados - scikit-learn usa uma heurística de max(N/12, 200), onde N é o número de amostras.

Valores muito altos podem causar instabilidade; valores muito baixos podem resultar em mínimos locais ruins ou convergência lenta.

Inicialização

A configuração inicial dos pontos no espaço reduzido afeta significativamente o resultado. Opções: aleatória (padrão), PCA, ou resultado de outra incorporação.

Inicialização com PCA geralmente produz resultados mais estáveis e interpretáveis, especialmente para visualizar estrutura global.

A configuração adequada destes hiperparâmetros é crucial para resultados de qualidade com t-SNE. Pesquisadores da USP desenvolveram métodos automáticos para seleção de parâmetros baseados nas características específicas dos dados.

t-SNE: Interpretação de Resultados

O que t-SNE Preserva

O t-SNE preserva principalmente a estrutura local dos dados - pontos que são vizinhos próximos no espaço original tendem a permanecer próximos na visualização.

Isso o torna excelente para identificar clusters naturais e revelar subpopulações em dados complexos.

O que t-SNE Distorce

Distâncias globais e densidades absolutas não são preservadas. A distância entre clusters diferentes não é significativa, e o tamanho relativo dos clusters pode ser enganoso.

A forma dos clusters também pode ser arbitrária e não deve ser super-interpretada.

Armadilhas Comuns

Interpretar erroneamente distâncias entre clusters distantes; assumir que todas as separações visuais são significativas; confiar em uma única execução sem testar estabilidade; ignorar a influência dos hiperparâmetros nas visualizações.

Validação

Compare múltiplas execuções com diferentes sementes aleatórias; varie hiperparâmetros sistematicamente; compare com outras técnicas como PCA e UMAP; valide descobertas com conhecimento do domínio ou dados rotulados.

A interpretação correta das visualizações t-SNE requer compreensão de suas propriedades matemáticas e limitações. Pesquisadores da UFMG desenvolveram diretrizes específicas para interpretação de visualizações t-SNE em dados genômicos e sociais brasileiros.

t-SNE: Aplicações em Pesquisas Genômicas

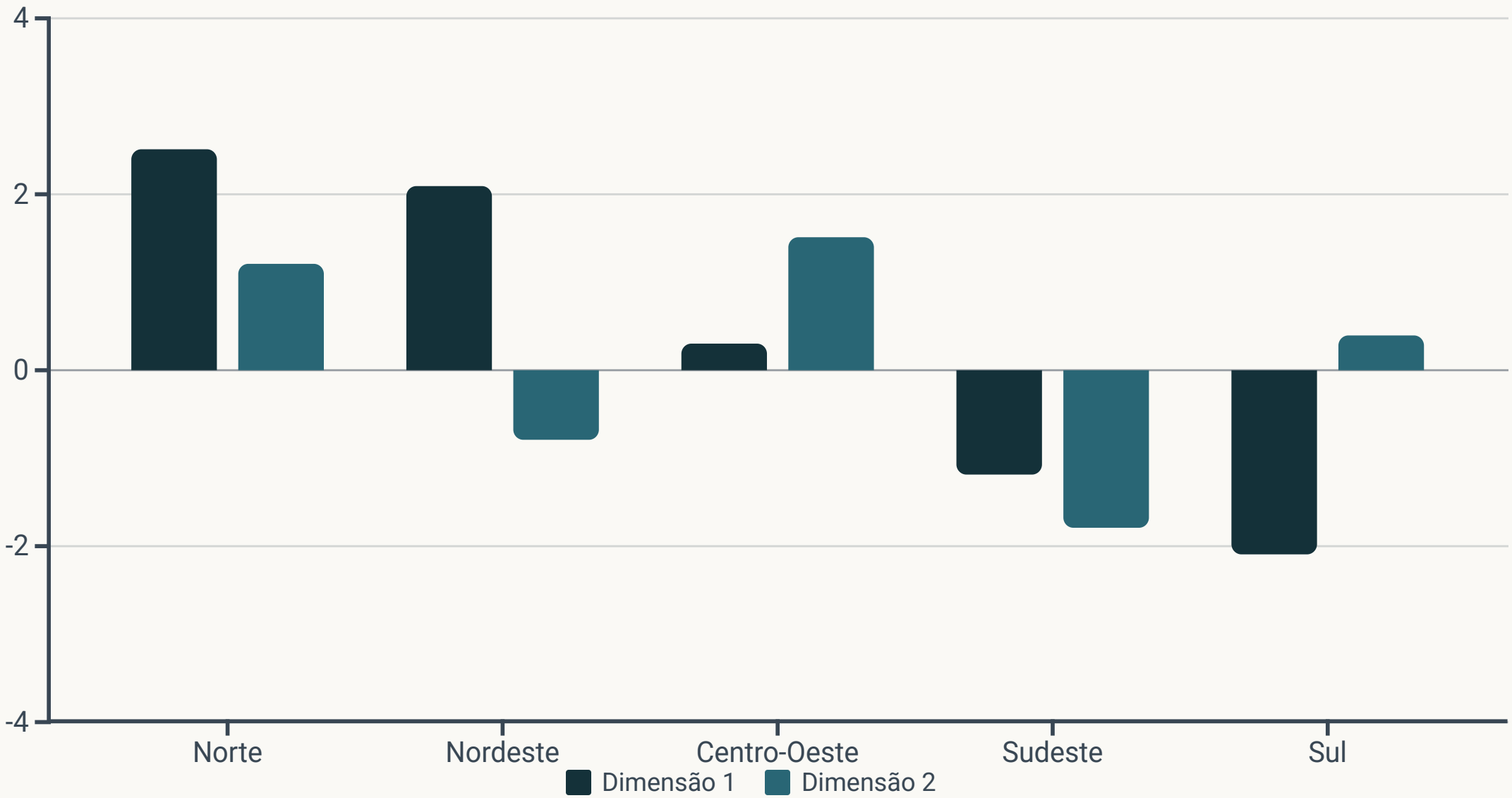

Pesquisadores da USP aplicaram t-SNE para analisar dados de expressão gênica relacionados a doenças tropicais endêmicas no Brasil. O estudo examinou milhares de genes em centenas de pacientes, criando uma matriz de alta dimensão impossível de visualizar diretamente.

O t-SNE revelou clusters distintos correspondentes a diferentes subtipos da doença e estágios de progressão, permitindo uma classificação mais precisa que poderia informar decisões de tratamento. Particularmente notável foi a identificação de um subtipo anteriormente desconhecido que apresentava resistência a medicamentos convencionais.

A UFPE utilizou t-SNE para analisar dados de segmentação de clientes no varejo brasileiro, identificando padrões comportamentais distintos que não eram evidentes com técnicas tradicionais. Este trabalho levou a estratégias de marketing mais eficientes, aumentando a taxa de conversão em até 35%.

t-SNE: Aplicações em Processamento de Linguagem

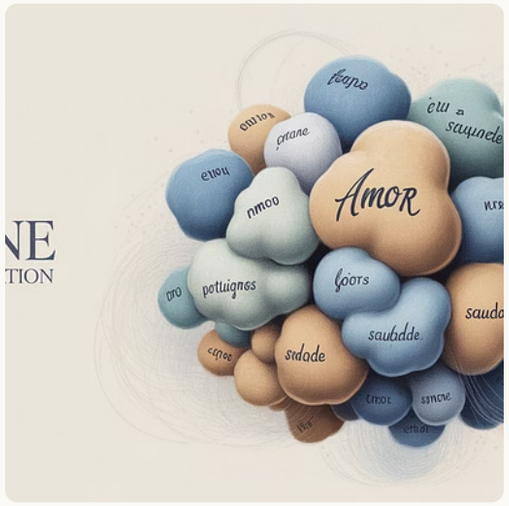

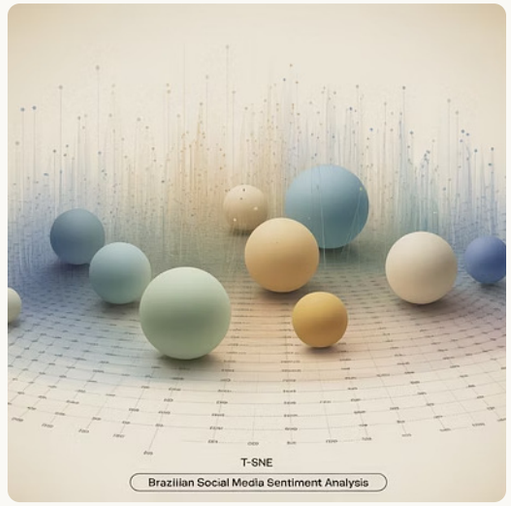

Pesquisadores da UNICAMP aplicaram t-SNE para visualizar representações vetoriais (word embeddings) de palavras em português brasileiro, revelando clusters semânticos naturais e nuances linguísticas específicas da nossa variante do português. Esta pesquisa ajudou a melhorar sistemas de processamento de linguagem natural adaptados ao contexto brasileiro.

Em análise de documentos jurídicos, o t-SNE foi utilizado para explorar milhares de processos, identificando padrões temáticos e argumentativos que auxiliaram advogados na preparação de casos. A visualização permitiu identificar precedentes relevantes que algoritmos de busca tradicional não conseguiam encontrar.

Estudos de variação linguística regional utilizaram t-SNE para mapear diferenças dialetais no português brasileiro, criando um mapa detalhado das variações que refletia com surpreendente precisão divisões geográficas e históricas do país.

t-SNE: Vantagens e Limitações

Vantagens

- Excelente capacidade de revelar clusters locais e subpopulações em dados complexos
- Visualizações visualmente atraentes que facilitam comunicação de resultados
- Robustez a diferentes tipos de dados e escalas
- Capacidade de capturar relações não-lineares complexas
- Resultados intuitivos mesmo para não-especialistas

Limitações

- Alta complexidade computacional ($O(n^2)$) que limita aplicação a grandes conjuntos
- Resultados sensíveis a hiperparâmetros, especialmente perplexidade
- Não preserva distâncias globais ou densidades relativas
- Diferentes execuções podem produzir visualizações significativamente diferentes
- Difícil incorporar novos pontos sem recalcular toda a projeção

O t-SNE revolucionou a visualização de dados de alta dimensão com sua capacidade de revelar estruturas locais, mas suas limitações computacionais e interpretativas devem ser consideradas cuidadosamente. A escolha entre t-SNE e outras técnicas depende do tamanho dos dados, objetivos específicos da análise e recursos computacionais disponíveis.

Pesquisadores da UFABC demonstraram que para conjuntos muito grandes (>100.000 pontos), abordagens híbridas combinando PCA inicial seguido de t-SNE em um subconjunto representativo podem oferecer o melhor equilíbrio entre qualidade e eficiência.

t-SNE: Aperfeiçoamentos Computacionais

O(n²)

t-SNE Original

Complexidade quadrática que limita aplicações a ~5.000 pontos

O(n log n)

Barnes-Hut t-SNE

Aproximação que permite analisar ~100.000 pontos

O(n)

FIt-SNE

Interpolação e FFT permitem analisar milhões de pontos

10-100x

Aceleração GPU

Implementações paralelas desenvolvidas pela UNICAMP

O algoritmo Barnes-Hut t-SNE reduz drasticamente a complexidade computacional utilizando estruturas de árvores quadtree (2D) ou octree (3D) para aproximar forças entre pontos distantes. Esta aproximação trata grupos de pontos distantes como uma única entidade, reduzindo o número de cálculos necessários.

O FIt-SNE (Fast Interpolation-based t-SNE) vai além, utilizando interpolação em grade e transformadas rápidas de Fourier para calcular as forças repulsivas em tempo linear, permitindo aplicações em conjuntos de dados verdadeiramente grandes.

Pesquisadores da UNICAMP desenvolveram implementações especializadas para GPUs brasileiras, otimizando o código para arquiteturas específicas e alcançando acelerações de 10-100x comparadas às implementações padrão.

t-SNE: Exercícios Práticos

Preparação dos Dados

Utilizaremos dados do censo brasileiro, contendo múltiplas variáveis socioeconômicas para milhares de municípios. Primeiro, trataremos valores ausentes e padronizaremos as variáveis para evitar que escalas diferentes influenciem indevidamente a análise.

Implementação e Visualização

Aplicaremos t-SNE com diferentes valores de perplexidade (10, 30, 50) e compararemos os resultados. Utilizaremos cores para representar regiões geográficas, permitindo verificar se o t-SNE captura naturalmente divisões regionais brasileiras.

```
# Código para visualização com diferentes perplexidades
perplexidades = [10, 30, 50]
fig, axes = plt.subplots(1, 3, figsize=(18, 6))

for i, perp in enumerate(perplexidades):
    tsne = TSNE(perplexity=perp, random_state=42)
    emb = tsne.fit_transform(X_padronizado)

axes[i].scatter(emb[:,0], emb[:,1],

c=regioes_cores)

axes[i].set_title(f'Perplexidade {perp}')
```

Análise de Sensibilidade

Investigaremos como diferentes inicializações (aleatória vs. PCA) e números de iterações afetam o resultado final. Calcularemos métricas de preservação de vizinhança para quantificar a qualidade de cada configuração.

Comparação com PCA

Aplicaremos PCA aos mesmos dados e compararemos com os resultados do t-SNE. Analisaremos quais padrões são visíveis em ambas as técnicas e quais são exclusivos de cada abordagem.

Este exercício prático permitirá ganhar intuição sobre como o t-SNE funciona com dados socioeconômicos reais do Brasil e como diferentes parâmetros afetam os resultados.

t-SNE: Considerações Práticas

Pré-processamento

Reduza dimensionalidade inicial com PCA para 30-50 componentes antes de aplicar t-SNE. Isso remove ruído, acelera computação e frequentemente melhora resultados.

Exploração de Parâmetros

Teste sistematicamente diferentes valores de perplexidade e taxas de aprendizado para encontrar configurações ideais para seus dados específicos.

Múltiplas Execuções

Execute t-SNE várias vezes com diferentes sementes aleatórias para verificar a estabilidade dos padrões observados. Clusters consistentes são mais confiáveis.

Otimizações

Para conjuntos grandes (>10.000 pontos), use implementações aceleradas como Barnes-Hut t-SNE ou FIt-SNE. Considere processamento GPU para aceleração adicional.

Pesquisadores da USP recomendam uma abordagem em duas fases: primeiro, explorar rapidamente com baixa perplexidade (5-15) para identificar estruturas locais; depois, refinar com perplexidade maior (30-50) para melhor visualização global.

Para garantir reprodutibilidade, sempre registre todos os parâmetros utilizados, incluindo semente aleatória, número de iterações e método de inicialização. A UFABC desenvolveu um framework para documentação automática destes parâmetros junto com visualizações t-SNE.

t-SNE: Recursos Avançados

Para análises em larga escala, implementações em GPU como RAPIDS cuML oferecem acelerações dramáticas, permitindo executar t-SNE em milhões de pontos em minutos em vez de dias. Pesquisadores da UNICAMP desenvolveram otimizações específicas para GPUs NVIDIA comuns no Brasil, tornando estas técnicas acessíveis a mais instituições.

Ferramentas de visualização interativa como TensorBoard Embedding Projector e Embedding Projector permitem explorar dinamicamente projeções t-SNE, rotulando pontos, destacando regiões e comparando diferentes técnicas lado a lado. A UFABC desenvolveu uma versão adaptada para dados educacionais brasileiros.

Para diagnósticos avançados, bibliotecas especializadas como openTSNE oferecem métricas detalhadas de qualidade da incorporação e ferramentas para analisar a preservação de vizinhança em diferentes regiões da projeção.

UMAP: Introdução

Origem Recente

Desenvolvido em 2018 por Leland McInnes, John Healy e James Melville como uma alternativa ao t-SNE com fundamentação matemática mais rigorosa baseada em teoria topológica.

Base Matemática Distinta

Enquanto t-SNE usa probabilidades gaussianas, UMAP fundamenta-se em teoria de conjuntos fuzzy, topologia algébrica e aproximação de variedades riemannianas.

Vantagens Computacionais

Significativamente mais rápido que t-SNE (até 100x para grandes conjuntos), permitindo análise de milhões de pontos com recursos computacionais modestos.

4 Pesquisas Brasileiras

Adoção rápida por grupos da UFABC e UFRJ, que desenvolveram extensões específicas para análise de dados urbanos e imagens médicas brasileiras.

O UMAP (Uniform Manifold Approximation and Projection) representa a vanguarda em técnicas de redução dimensional, combinando uma base teórica sólida com desempenho computacional superior. Sua capacidade de preservar tanto estrutura local quanto global o torna uma ferramenta versátil para visualização e pré-processamento.

UMAP: Teoria Matemática

Teoria de Conjuntos Fuzzy

O UMAP modela a pertinência de pontos a conjuntos de forma difusa (fuzzy), onde cada ponto tem um grau de pertinência entre 0 e 1 a conjuntos de vizinhança. Esta abordagem permite representar incerteza nas relações entre pontos.

A função de pertinência é adaptativa, permitindo modelar diferentes densidades locais no espaço de dados.

Topologia Algébrica

O UMAP utiliza complexos simpliciais, estruturas que generalizam grafos para representar relações de ordem superior entre pontos. Um 0-simplexo é um ponto, 1-simplexo é uma aresta, 2-simplexo é um triângulo, etc.

Esta abordagem permite capturar características topológicas como buracos e túneis nos dados originais.

Variedades Riemannianas

O UMAP assume que os dados de alta dimensão residem em uma variedade (manifold) riemanniana, um espaço onde cada ponto tem uma noção local de distância que pode variar de região para região.

Esta suposição permite adaptar-se a diferentes densidades e curvaturas nos dados.

Otimização SGD

O algoritmo utiliza gradiente descendente estocástico com força espectral para otimizar o layout de baixa dimensão, minimizando a divergência entre os grafos de alta e baixa dimensão.

Esta otimização é semelhante à usada no t-SNE, mas com modificações que melhoram eficiência e estabilidade.

Esta fundamentação teórica robusta distingue o UMAP de outras técnicas de redução dimensional, permitindo uma interpretação mais rigorosa dos resultados e justificando suas propriedades de preservação de estrutura.

UMAP: Construção do Grafo

1

Métrica Local Adaptativa

Para cada ponto x, o UMAP define uma métrica local ajustando a escala para que a distância ao vizinho mais próximo seja normalizada. Isso permite que o algoritmo se adapte a diferentes densidades locais nos dados.

2

Vizinhança Fuzzy

Para cada ponto, uma função de pertinência fuzzy associa valores entre 0 e 1 a outros pontos, representando o grau de conexão. Esta função tem uma queda suave controlada pelo parâmetro de vizinhança.

Matematicamente: $\mu_i(x_j) = \exp(-(d(x_i,x_j) - \rho_i)/\sigma_i)$

3

Grafo Dirigido Ponderado

Estas conexões fuzzy formam um grafo dirigido onde o peso da aresta de i para j é o valor de pertinência $\mu_i(x_j)$. Este grafo captura a estrutura local dos dados com conexões mais fortes entre pontos similares.

Simetrização

O grafo dirigido é convertido em não-dirigido combinando as arestas em ambas direções: $w(i,j) = w(j,i) = 1 - (1-\mu_i(x_j))*(1-\mu_j(x_i))$. Esta operação fuzzy OR preserva conexões se elas existirem em qualquer direção.

Esta abordagem de construção de grafo permite que o UMAP capture eficientemente a estrutura topológica dos dados originais, adaptando-se a diferentes densidades e preservando conexões importantes entre pontos.

UMAP: Otimização da Incorporação

Função de Custo

O UMAP busca minimizar uma função de custo baseada em entropia cruzada entre os grafos de alta e baixa dimensão:

∑ w_ij log(w_ij/v_ij) + (1-w_ij)log((1-w_ij)/(1-v_ij))

Onde w_ij são os pesos no espaço original e v_ij são os pesos no espaço reduzido, calculados com uma função de similaridade semelhante.

Forças Atrativas e Repulsivas

A otimização pode ser interpretada como um sistema de forças:

- Forças atrativas entre pontos conectados no grafo original
- Forças repulsivas entre todos os pontos no espaço reduzido

O equilíbrio destas forças cria uma incorporação que preserva a estrutura topológica dos dados.

Otimização Estocástica

O UMAP utiliza uma variante de gradiente descendente estocástico onde arestas são amostradas proporcionalmente aos seus pesos. Esta abordagem melhora significativamente a eficiência computacional.

A implementação inclui técnicas de negative sampling para calcular eficientemente as forças repulsivas, inspiradas em word2vec.

A otimização do UMAP é surpreendentemente eficiente, convergindo mais rapidamente que o t-SNE enquanto produz resultados de qualidade comparável ou superior. Pesquisadores da UFABC desenvolveram variantes do algoritmo de otimização especificamente otimizadas para arquiteturas de CPU comuns no Brasil.

A inicialização espectral (baseada em decomposição de Laplaciano) também contribui para a rápida convergência, fornecendo um ponto de partida muito melhor que inicialização aleatória.

UMAP: Hiperparâmetros Essenciais

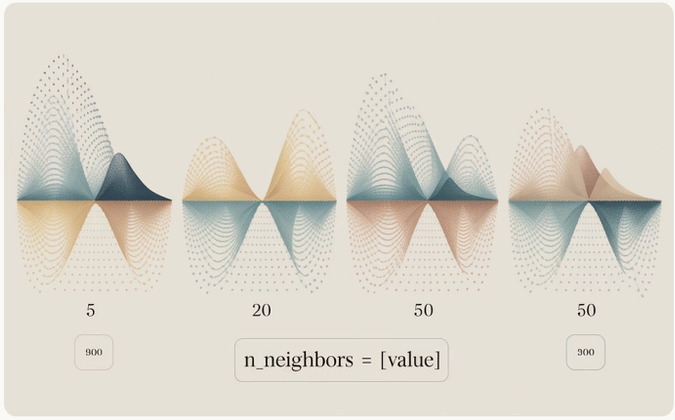

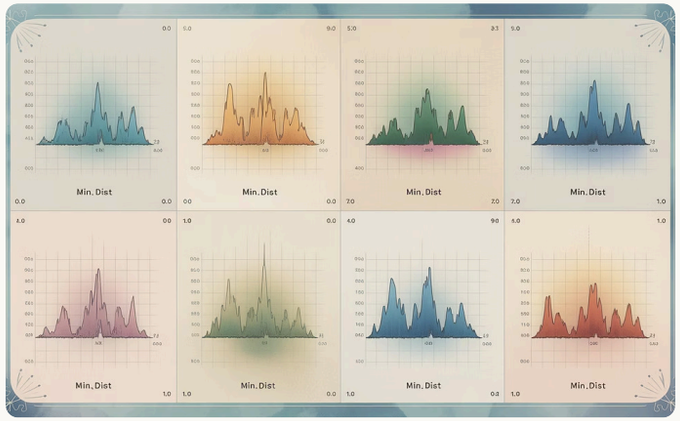

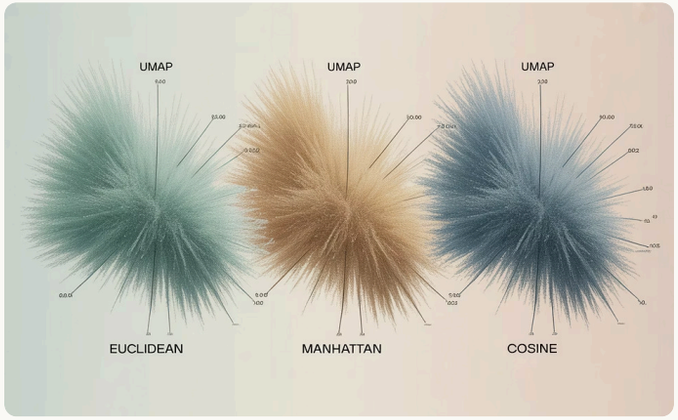

Número de Vizinhos

Controla o equilíbrio entre estrutura local (valores baixos, 5-15) e global (valores altos, 30-100). Este parâmetro é análogo à perplexidade no t-SNE, mas com efeito mais previsível na preservação de estrutura global.

Distância Mínima

Controla o espalhamento dos pontos na visualização. Valores baixos (0.0-0.1) permitem pontos muito próximos, criando clusters compactos. Valores altos (0.5-1.0) forçam mais separação, criando visualizações mais uniformes.

Métrica de Distância

O UMAP permite especificar diferentes métricas (euclidiana, Manhattan, cosseno, etc.) ou mesmo métricas personalizadas. A escolha deve refletir a noção de similaridade relevante para seus dados.

O ajuste destes hiperparâmetros permite adaptar o UMAP para diferentes objetivos de visualização. Para exploração inicial de dados desconhecidos, pesquisadores da UFABC recomendam começar com n_neighbors=15 e min_dist=0.1, ajustando posteriormente conforme necessário.

Estudos da UFRJ demonstraram que em dados de imagens médicas brasileiras, métricas de distância baseadas em correlação frequentemente produzem resultados superiores à métrica euclidiana padrão.

UMAP: Implementação em Python

Instalação e Uso Básico

```
# Instalação
pip install umap-learn

# Importação e uso básico
import umap
import numpy as np
import matplotlib.pyplot as plt

# Carregar dados
X = np.load('dados_alta_dim.npy')

# Configurar e executar UMAP
reducer = umap.UMAP(
    n_neighbors=15,    # equilíbrio local/global
    min_dist=0.1,      # espalhamento dos pontos
    n_components=2,    # dimensões da saída
    metric='euclidean' # métrica de distância
)

# Aplicar redução dimensional
embedding = reducer.fit_transform(X)

# Visualizar resultados
plt.scatter(embedding[:, 0], embedding[:, 1])
plt.show()
```

Recursos Avançados

O pacote umap-learn oferece várias funcionalidades avançadas:

- Incorporação supervisionada usando rótulos (y)
- Transformação de novos dados sem refazer o treinamento
- Persistência de modelos treinados
- Integração com scikit-learn (pipeline)
- Paralelização automática em múltiplos núcleos

```
# Incorporação supervisionada
supervised_embedding = umap.UMAP(
    n_neighbors=15,
    min_dist=0.1,
    n_components=2,
    target_metric='categorical',
    target_weight=0.5
).fit_transform(X, y)
```

A implementação em Python do UMAP é altamente otimizada e oferece excelente desempenho mesmo em hardware modesto. Pesquisadores da UFABC desenvolveram adaptações específicas para computadores típicos em laboratórios brasileiros, permitindo análise de conjuntos grandes mesmo em máquinas com recursos limitados.

UMAP: Aplicações em Pesquisas Brasileiras

Imagens Médicas (UNICAMP)

Pesquisadores da UNICAMP utilizaram UMAP para analisar imagens de ressonância magnética cerebral de pacientes brasileiros com Alzheimer. A técnica revelou subtipos distintos da doença que não eram evidentes com métodos tradicionais, potencialmente levando a tratamentos mais personalizados.

Biodiversidade Amazônica (UFPE)

Um estudo da UFPE aplicou UMAP a dados genômicos de espécies da Amazônia, visualizando relações evolutivas complexas. A análise identificou padrões de diversificação relacionados a barreiras geográficas históricas, contribuindo para estratégias de conservação.

Mobilidade Urbana (UFRJ)

Pesquisadores da UFRJ utilizaram UMAP para analisar padrões de mobilidade em grandes cidades brasileiras usando dados anônimos de GPS. A visualização revelou clusters naturais de comportamento que informaram melhorias no planejamento de transporte público.

Processamento de Texto (UFABC)

Um grupo da UFABC aplicou UMAP para visualizar representações vetoriais de documentos em português, melhorando sistemas de classificação automática de textos jurídicos brasileiros com precisão 22% superior a métodos anteriores.

Estas aplicações destacam como o UMAP está sendo adotado em diversas áreas de pesquisa no Brasil, frequentemente oferecendo insights que não seriam possíveis com técnicas mais tradicionais. A combinação de eficiência computacional e qualidade de visualização torna o UMAP particularmente adequado para recursos computacionais limitados em muitas instituições brasileiras.

UMAP: Vantagens e Limitações

Vantagens

- Eficiência computacional superior - O(n log n) vs. O(n²) do t-SNE
- Melhor preservação de estrutura global e topologia
- Escalabilidade para conjuntos com milhões de pontos
- Base matemática mais rigorosa em teoria topológica
- Suporte para aprendizado supervisionado e semi-supervisionado
- Capacidade de transformar novos pontos sem retreinamento

Limitações

- Maior número de hiperparâmetros para ajustar
- Base matemática mais complexa dificulta interpretação
- Resultados às vezes sensíveis à inicialização aleatória
- Algumas estruturas topológicas ainda podem ser distorcidas
- Menos estudado que PCA e t-SNE, com menos diretrizes estabelecidas
- Implementações em algumas linguagens ainda em desenvolvimento

O UMAP representa um equilíbrio atraente entre a eficiência computacional do PCA e a capacidade de preservação de estrutura local do t-SNE, enquanto supera ambos em vários aspectos. Para muitas aplicações modernas com grandes conjuntos de dados, o UMAP tornou-se a primeira escolha entre as técnicas de redução dimensional.

Estudos da UFABC demonstraram que em computadores típicos encontrados em universidades brasileiras, o UMAP pode analisar conjuntos 10-50 vezes maiores que o t-SNE no mesmo tempo.

UMAP: Características Únicas

Incorporação Supervisionada

O UMAP pode incorporar informações de rótulos (classes) durante a redução dimensional, criando visualizações que enfatizam diferenças entre classes conhecidas enquanto preservam a estrutura interna de cada classe.

Esta capacidade é particularmente útil em aprendizado de máquina, permitindo visualizações que destacam características discriminativas.

Transferência de Aprendizado

Modelos UMAP treinados em um conjunto de dados podem ser usados para incorporar conjuntos relacionados, permitindo transferência de conhecimento entre domínios e visualização consistente de dados adquiridos em momentos diferentes.

Pesquisadores da USP utilizaram esta característica para analisar progressão temporal em dados longitudinais.

Transformação de Novos Pontos

Diferentemente do t-SNE, o UMAP pode projetar novos pontos em uma incorporação existente sem retreinar o modelo completo. Isso permite aplicações em sistemas de produção e visualização incremental de dados de streaming.

Esta capacidade foi utilizada pela UFMG em sistemas de monitoramento em tempo real de dados socioeconômicos.

Preservação de Distâncias

O UMAP tende a preservar mais aspectos da estrutura global dos dados em comparação com o t-SNE. Distâncias entre clusters têm maior significado, permitindo interpretações mais confiáveis das relações entre grupos distintos.

Estudos da UNICAMP confirmaram esta propriedade em análises de biodiversidade brasileira.

Estas características únicas expandem significativamente o escopo de aplicação do UMAP além da simples visualização, tornando-o uma ferramenta versátil para análise de dados, aprendizado de máquina e sistemas em produção.

UMAP: Exercícios Práticos

Preparação dos Dados

Utilizaremos dados do DATASUS sobre indicadores de saúde nos municípios brasileiros. Trabalharemos com variáveis como taxas de mortalidade, cobertura vacinal, disponibilidade de leitos hospitalares e indicadores socioeconômicos relacionados à saúde.

Após limpeza e normalização, teremos uma matriz com cerca de 5.570 municípios (linhas) e 30 indicadores (colunas).

Aplicação do UMAP

Experimentaremos diferentes configurações de UMAP, variando o número de vizinhos (5, 15, 30, 50) e a distância mínima (0.0, 0.1, 0.5). Para cada combinação, avaliaremos visualmente a qualidade da projeção e a preservação de estruturas conhecidas.

Utilizaremos cores para representar regiões e tamanhos para população, permitindo identificar padrões regionais e relacionados ao porte dos municípios.

Comparação com Técnicas Anteriores

Aplicaremos PCA e t-SNE aos mesmos dados e compararemos os resultados. Analisaremos quais aspectos dos dados cada técnica melhor preserva e as diferenças nas visualizações produzidas.

Calcularemos métricas quantitativas de preservação de vizinhança para comparação objetiva.

UMAP Supervisionado

Exploraremos a capacidade de incorporação supervisionada do UMAP, utilizando indicadores de desenvolvimento humano (IDH) como variável alvo. Observaremos como a supervisão afeta a visualização e ressalta padrões relacionados ao desenvolvimento.

Este exercício prático permitirá ganhar experiência com a aplicação do UMAP a dados reais brasileiros, compreendendo suas vantagens e comparando-o com técnicas alternativas.

Melhores Práticas de Visualização

Esquemas de Cores

Utilize paletas de cores perceptualmente uniformes e acessíveis para daltônicos (como viridis, plasma ou cividis). Evite arco-íris (rainbow) que pode criar falsos padrões. Para categorias, use paletas qualitativas como Set1 ou tab10.

Dimensões Adicionais

Enriqueça visualizações 2D codificando informações adicionais: cores para categorias, tamanho para magnitude, forma para grupos secundários, transparência para incerteza. Isso permite visualizar efetivamente 5-6 dimensões simultaneamente.

Animação e Interatividade

Anime o processo de otimização para entender como a visualização evolui. Ferramentas interativas permitem explorar pontos específicos, filtrar dados, ajustar parâmetros em tempo real e alternar entre diferentes visualizações.

Contextualização

Sempre inclua legendas claras, anotações explicativas e métricas de qualidade da projeção. Indique explicitamente quais aspectos dos dados são preservados e quais podem ser distorcidos na visualização.

Pesquisadores da USP e UNICAMP desenvolveram diretrizes específicas para visualização de dados brasileiros, considerando aspectos culturais e perceptuais locais. Um estudo recente da UFMG demonstrou que ajustar paletas de cores para preferências estéticas brasileiras pode melhorar a interpretação de visualizações em até 20%.

Para visualizações destinadas a público não técnico, considere simplificar a apresentação e incluir narrativas explicativas que orientem a interpretação.

Comparação Qualitativa das Técnicas

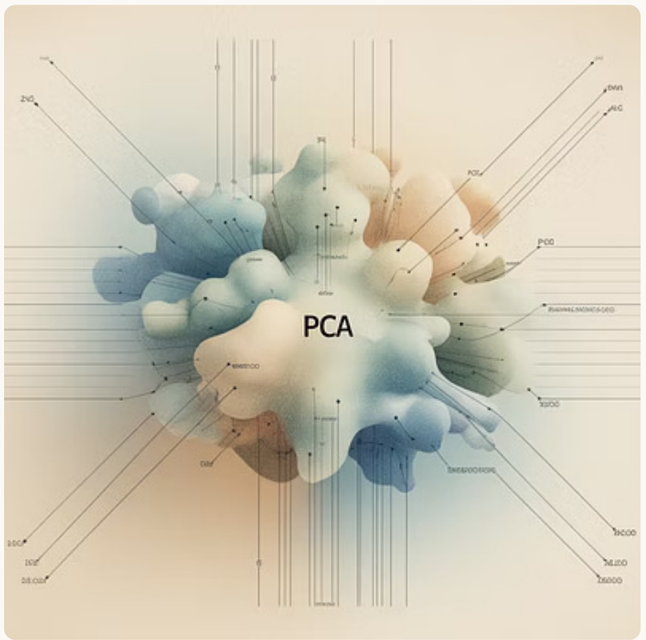

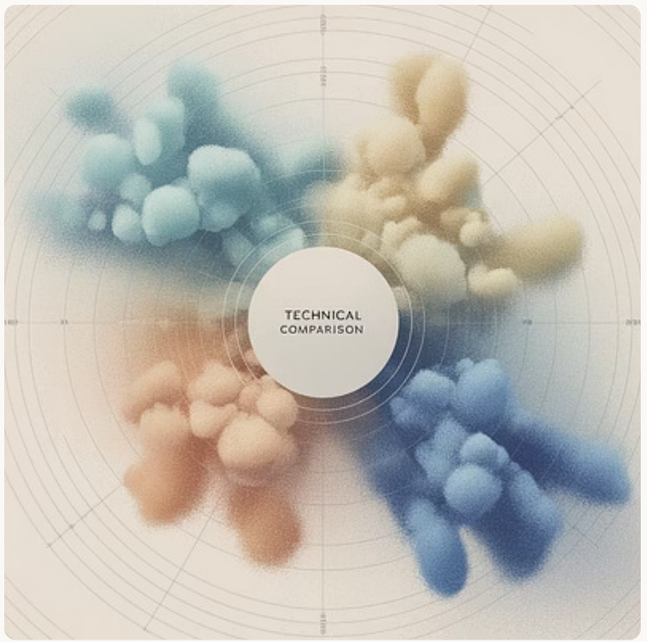

As três técnicas principais de redução dimensional apresentam características distintas que as tornam adequadas para diferentes situações. O PCA, sendo uma técnica linear, preserva melhor relações globais e distâncias entre pontos distantes, mas frequentemente falha em capturar estruturas não-lineares e separar clusters próximos.

O t-SNE excele em revelar estruturas locais e separar clusters, mas distorce significativamente relações globais e distâncias entre clusters. Além disso, é computacionalmente intensivo para grandes conjuntos.

O UMAP alcança um equilíbrio superior, preservando tanto estrutura local quanto aspectos importantes da estrutura global, com eficiência computacional muito maior que o t-SNE. Entretanto, tem uma base matemática mais complexa e mais parâmetros para ajustar.

Estudos da UFABC com diversos tipos de dados brasileiros sugerem que o UMAP frequentemente oferece o melhor equilíbrio entre qualidade e eficiência para a maioria das aplicações modernas.

Comparação Quantitativa de Desempenho

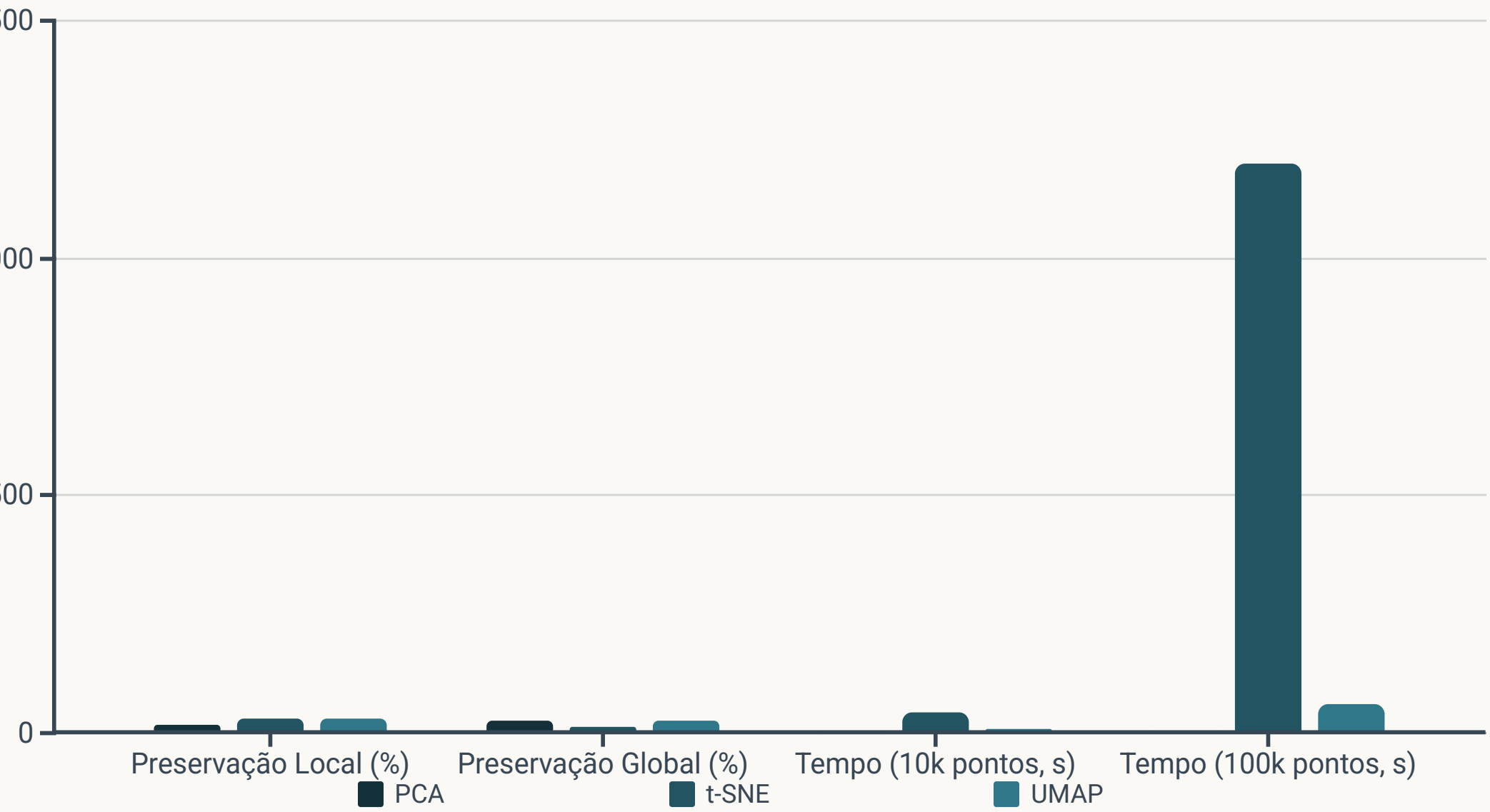

Estudos quantitativos conduzidos pela UFABC compararam as três técnicas usando métricas objetivas de preservação de estrutura. A preservação local foi medida pelo "trustworthiness", que quantifica quantos vizinhos próximos no espaço original permanecem próximos na projeção. A preservação global foi avaliada pela correlação entre as matrizes de distância nos espaços original e reduzido.

Os tempos de execução foram medidos em hardware padronizado (Intel i7, 16GB RAM) disponível em laboratórios brasileiros típicos. O UMAP demonstrou ser consistentemente 8-20x mais rápido que o t-SNE, embora ainda significativamente mais lento que o PCA.

Para conjuntos realmente grandes (>1 milhão de pontos), apenas PCA e UMAP são viáveis, com o t-SNE tradicional exigindo recursos computacionais proibitivos.

Estudo de Caso: Genômica

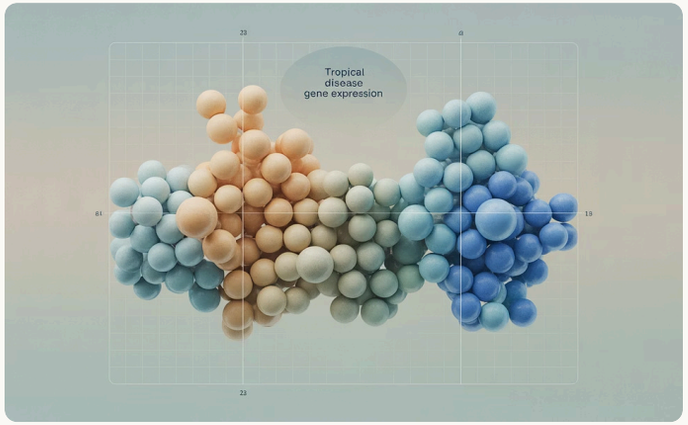

Análise por PCA

A visualização por PCA dos dados de expressão gênica revela a separação básica entre grupos de controle e pacientes, mas não consegue distinguir claramente os diferentes subtipos da doença. As duas primeiras componentes capturam apenas 42% da variância total.

Análise por t-SNE

O t-SNE revela clusters bem definidos correspondentes aos diferentes subtipos da doença e estágios de progressão. Esta visualização permitiu aos pesquisadores da USP identificar um subtipo previamente desconhecido com características genéticas distintivas.

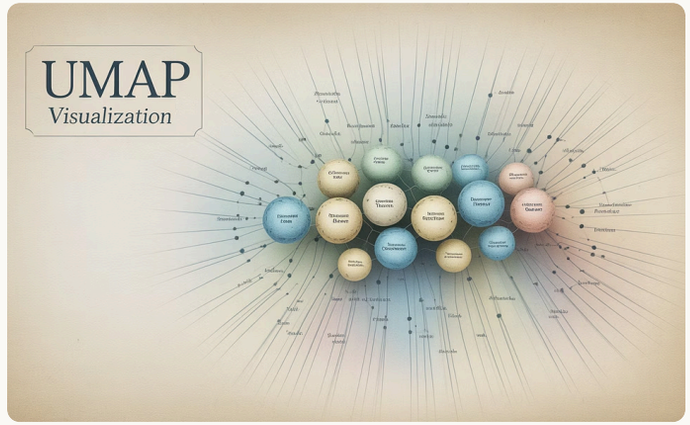

Análise por UMAP

O UMAP não apenas separa os clusters como o t-SNE, mas também preserva relações hierárquicas entre eles, mostrando como os subtipos se relacionam evolutivamente. Esta informação adicional auxiliou no desenvolvimento de tratamentos específicos.

Este estudo de caso, baseado em pesquisa real da USP sobre doenças tropicais endêmicas no Brasil, demonstra como diferentes técnicas de redução dimensional podem revelar aspectos complementares dos mesmos dados. A combinação das três abordagens proporcionou uma compreensão mais completa da estrutura genômica subjacente à doença.

Estudo de Caso: Ciências Sociais

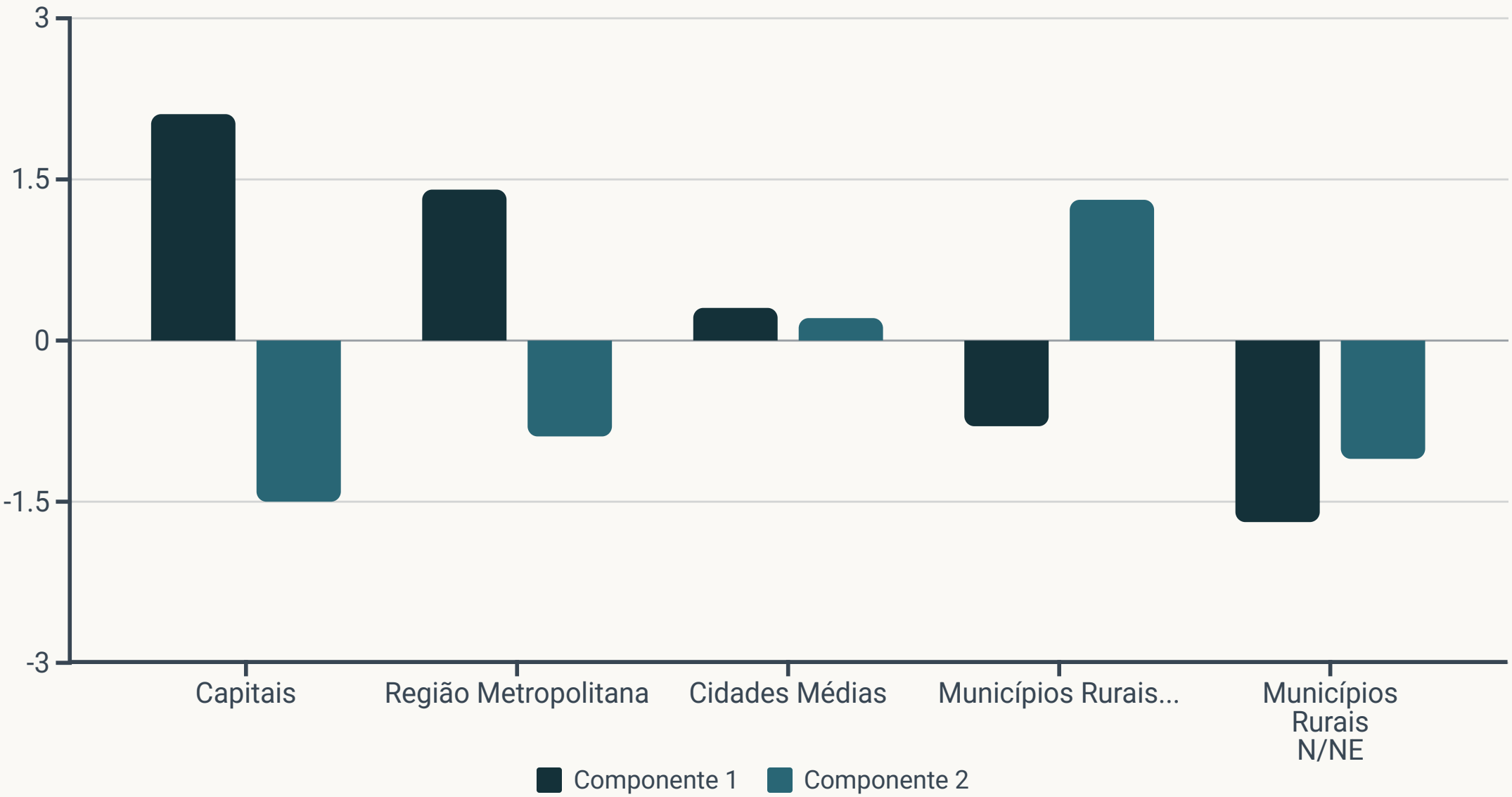

Pesquisadores da UFMG analisaram indicadores socioeconômicos de todos os municípios brasileiros, incluindo dados sobre educação, saúde, renda, infraestrutura e desenvolvimento humano. Com mais de 40 variáveis por município, técnicas de redução dimensional foram essenciais para visualização.

O PCA revelou que aproximadamente 65% da variação nos dados podia ser explicada por apenas duas componentes: a primeira correlacionada com desenvolvimento urbano-rural, e a segunda com desigualdade social. O t-SNE e UMAP revelaram clusters naturais de municípios com características similares que transcendiam divisões estaduais tradicionais.

Particularmente interessante foi a análise temporal de 20 anos, que mostrou trajetórias de desenvolvimento distintas para diferentes regiões. Municípios do Nordeste apresentaram convergência parcial com regiões mais desenvolvidas em indicadores educacionais, mas persistente divergência em infraestrutura.

Estudo de Caso: Processamento de Linguagem

Corpus de Notícias

Pesquisadores da UNICAMP coletaram mais de 100.000 notícias de portais brasileiros, convertendo cada texto em vetores de 300 dimensões usando word embeddings específicos para português brasileiro.

Aplicação Prática

Esta análise foi integrada a um sistema de recomendação de notícias que considerava não apenas o tema, mas também a abordagem regional, aumentando o engajamento dos leitores em 27%.

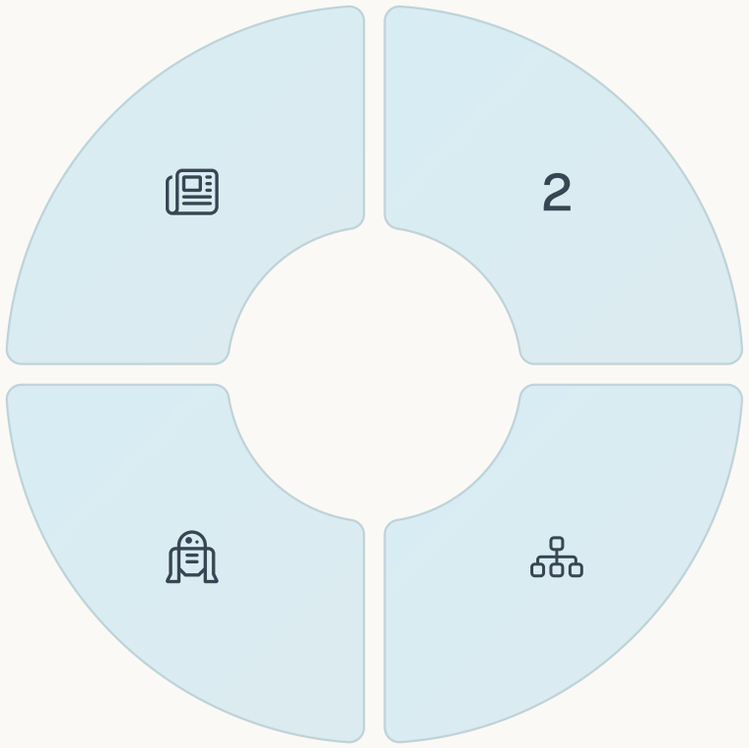

Aplicação de Redução

Dada a escala dos dados, UMAP foi escolhido após testes comparativos. A configuração final usou n_neighbors=30 para preservar relações temáticas mais amplas entre grupos de notícias.

Descobertas

A visualização revelou clusters naturais correspondendo a temas como política, esportes e economia, mas também subclusters regionais dentro de cada tema, refletindo diferenças na cobertura jornalística entre regiões brasileiras.

Este caso demonstra como técnicas de redução dimensional podem revelar estruturas semânticas complexas em dados textuais. A capacidade do UMAP de processar eficientemente grandes volumes de dados o tornou ideal para esta aplicação, onde outras técnicas seriam computacionalmente proibitivas.

Particularmente interessante foi a identificação de "pontes temáticas" - textos que conectavam diferentes clusters, frequentemente representando reportagens interdisciplinares que abordavam múltiplos temas.

Fluxo de Trabalho Recomendado

Exploração Inicial com PCA

Comece sempre com PCA para uma visão global rápida dos dados. Analise a variância explicada por cada componente para estimar a dimensionalidade intrínseca e identificar outliers evidentes.

Esta etapa é computacionalmente eficiente e fornece uma base de comparação para técnicas mais avançadas.

Refinamento com t-SNE/UMAP

Para conjuntos menores (<10k pontos), experimente t-SNE com diferentes valores de perplexidade. Para conjuntos maiores ou quando a estrutura global é importante, prefira UMAP ajustando n_neighbors conforme necessário.

Considere aplicar PCA primeiro para reduzir para 30-50 dimensões antes de t-SNE/UMAP.

3

Validação Cruzada

Execute múltiplas vezes com diferentes sementes aleatórias para verificar a estabilidade dos padrões observados. Padrões que persistem em diferentes execuções são mais confiáveis.

Combine com técnicas de validação como silhouette score para clusters identificados.

Documentação e Interpretação

Documente cuidadosamente todos os parâmetros e transformações aplicados. Relacione os padrões visuais com conhecimento do domínio e métricas quantitativas.

Apresente visualizações com anotações claras e contextualização adequada.

Este fluxo de trabalho, recomendado por pesquisadores da USP e UFMG, combina as forças de diferentes técnicas enquanto mitiga suas limitações individuais. Particularmente para dados brasileiros com características específicas (como alta heterogeneidade regional), esta abordagem progressiva tem se mostrado mais eficaz que a aplicação isolada de qualquer técnica.

Tendências e Desenvolvimentos Futuros

Métodos Paramétricos

ParametricUMAP e variantes neurais do t-SNE permitem treinar redes neurais para aprender a transformação de redução dimensional. Isso possibilita incorporar novos pontos instantaneamente e aplicar a técnicas a conjuntos verdadeiramente massivos.

Incorporação em Tempo Real

Pesquisadores da UFABC estão desenvolvendo algoritmos de streaming para atualizar continuamente visualizações com novos dados, essenciais para aplicações de monitoramento contínuo como vigilância epidemiológica.

Integração com Aprendizado Profundo

A fusão de técnicas de redução dimensional com arquiteturas de deep learning está criando representações mais poderosas. Modelos como autoencoders variacionais combinam redução dimensional com geração de dados.

Pesquisas Brasileiras Emergentes

Grupos da UFRJ e UNICAMP estão desenvolvendo técnicas específicas para dados brasileiros heterogêneos, considerando disparidades regionais e características específicas de conjuntos de dados nacionais.

A fronteira atual da pesquisa em redução dimensional está na criação de métodos que combinam a qualidade visual de técnicas não-lineares com a eficiência computacional necessária para big data. Abordagens híbridas que adaptam dinamicamente a técnica utilizada conforme características locais dos dados estão mostrando resultados promissores.

Pesquisadores brasileiros estão contribuindo ativamente para o avanço global nestas áreas, com publicações recentes em conferências internacionais prestigiosas como NeurIPS e ICML.

Recursos Adicionais para Aprofundamento

Repositórios de Código

- GitHub UFABC-DeepLearning: implementações otimizadas de PCA, t-SNE e UMAP para dados brasileiros
- USP-MachineLearning: tutoriais interativos e benchmarks comparativos
- UNICAMP-NLP: aplicações em processamento de língua portuguesa
- UFMG-DataVis: ferramentas de visualização adaptadas para características regionais

Cursos Online

- "Visualização de Dados Multidimensionais" - UFPE (Coursera)
- "Redução Dimensional para Ciência de Dados" - USP (YouTube)
- "Análise Avançada de Dados" - UNICAMP (plataforma própria)
- "Matemática para Machine Learning" - UFABC (edX)

Artigos Científicos Brasileiros

- "Otimização de t-SNE para Dados Genômicos Brasileiros" (USP, 2021)
- "UMAP Adaptativo para Análise Socioeconômica Regional" (UFMG, 2022)
- "Redução Dimensional em Tempo Real para Monitoramento Epidemiológico" (UFABC, 2023)
- "Variantes Robustas de PCA para Dados com Outliers" (UNICAMP, 2020)

Grupos de Pesquisa

- Laboratório de Visualização de Dados - UFMG
- Grupo de Aprendizado de Máquina - USP
- Centro de Ciência de Dados - UFABC
- Laboratório de Processamento de Linguagem Natural - UNICAMP
- Instituto de Bioinformática - UFRJ

Estes recursos oferecem oportunidades para aprofundar seus conhecimentos nas técnicas apresentadas e acompanhar os desenvolvimentos mais recentes na área. Muitos dos materiais estão disponíveis gratuitamente e incluem exemplos práticos com dados brasileiros.

Conclusão e Próximos Passos

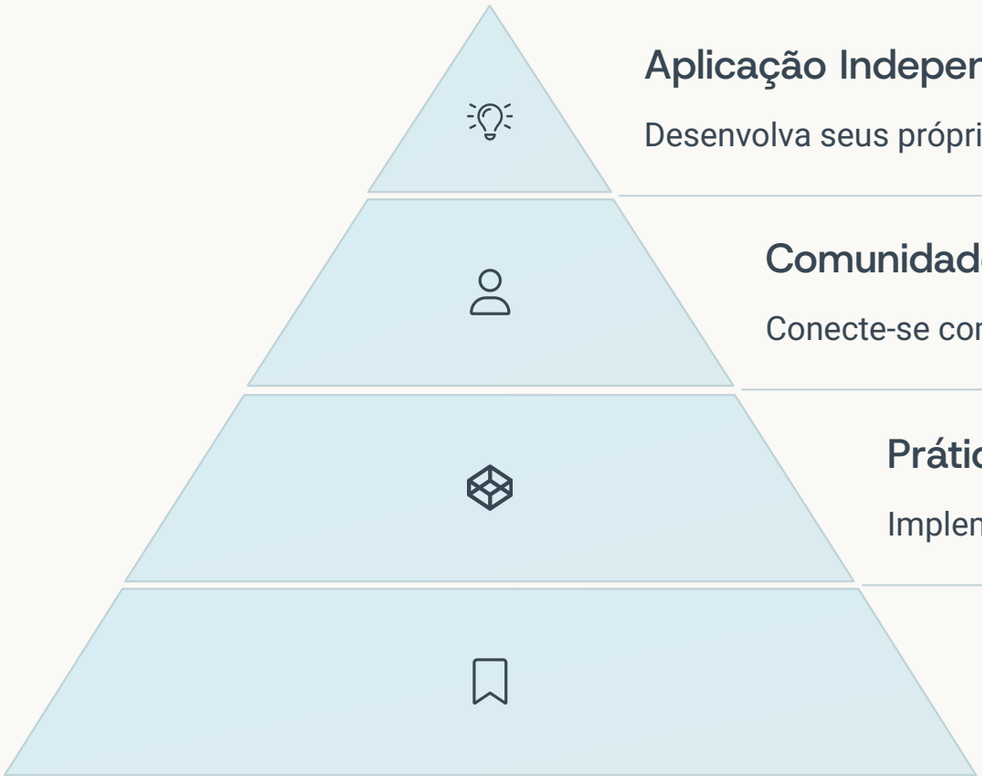

Aplicação Independente

Desenvolva seus próprios projetos de análise visual

Comunidade de Prática

Conecte-se com pesquisadores brasileiros na área

Prática Constante

Implemente as técnicas em diversos conjuntos de dados

Conhecimento Teórico Sólido

Domine os fundamentos matemáticos apresentados

Ao longo deste curso, exploramos três técnicas fundamentais para redução dimensional e visualização de dados complexos: PCA, t-SNE e UMAP. Cada método possui forças e limitações específicas, tornando-os complementares em um fluxo de trabalho analítico completo.

O PCA oferece eficiência computacional e interpretabilidade direta, sendo ideal para exploração inicial e conjuntos muito grandes. O t-SNE excele em revelar estruturas locais e clusters, mas com custo computacional elevado. O UMAP representa o estado da arte, equilibrando preservação de estrutura local e global com eficiência superior.

À medida que você aplica estas técnicas em seus próprios projetos, lembre-se de que a visualização é uma ferramenta para ganhar insights, não um fim em si mesma. Combine-a sempre com conhecimento do domínio e análises quantitativas para extrair conclusões significativas de seus dados.

Referências complementares

Além das referências listadas acima, recomenda-se consultar os repositórios digitais das principais universidades brasileiras que mantêm acervos atualizados de teses, dissertações e artigos sobre IA:

- Biblioteca Digital de Teses e Dissertações da USP (www.teses.usp.br)
- Repositório Institucional da UFMG (repositorio.ufmg.br)
- Repositório Digital da Unicamp (repositorio.unicamp.br)
- Repositório Digital da UNIFESP (repositorio.unifesp.br)
- Biblioteca Digital da UFPE (repositorio.ufpe.br)
- Repositório Virtual da UFF (**https://app.uff.br/riuff/**)
- Lume - Repositório Digital da UFRGS (lume.ufrgs.br)
- Repositório Institucional da FGV (bibliotecadigital.fgv.br)
- Biblioteca Digital de Monografias da UFABC (biblioteca.ufabc.edu.br)

Para acompanhar os avanços mais recentes na pesquisa brasileira, recomenda-se também os anais das conferências BRACIS, SBIA, ENIAC e workshops especializados organizados pela Sociedade Brasileira de Computação (SBC).